



Le Pieghe

Da Ramsay and Huber, 1987

Le pieghe

- Aspetti regionali e descrizione delle loro geometrie (nomenclatura e classificazione)

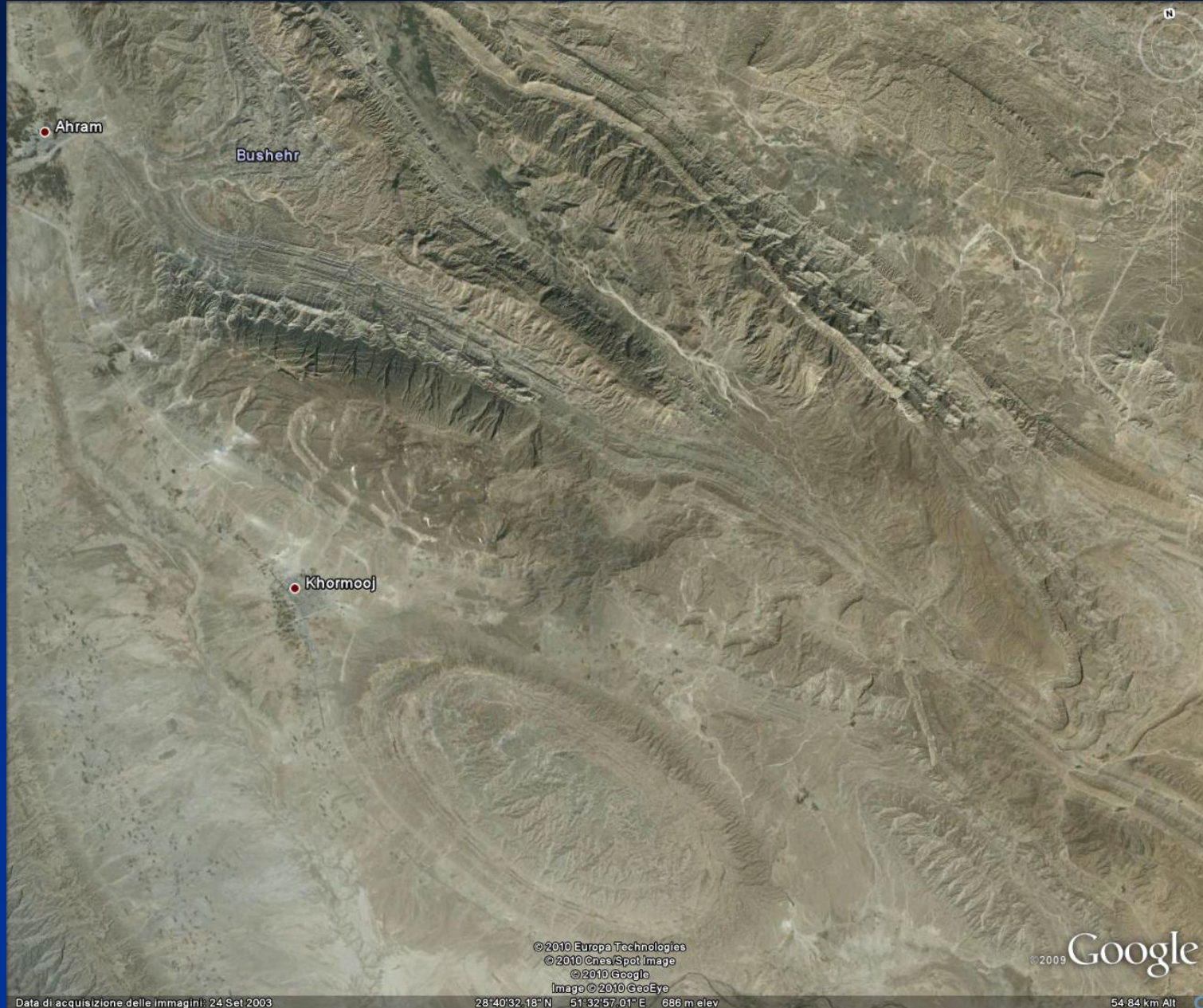


Esempio di culminazioni e depressioni



Makran - Iran

Esempio di “chiusura” periclinalica





Data di acquisizione delle immagini: 14 Set 2006

28°36'49.35"N 51°42'13.76"E 1158 m elev.

©2009 Google

8.15 km Alt.

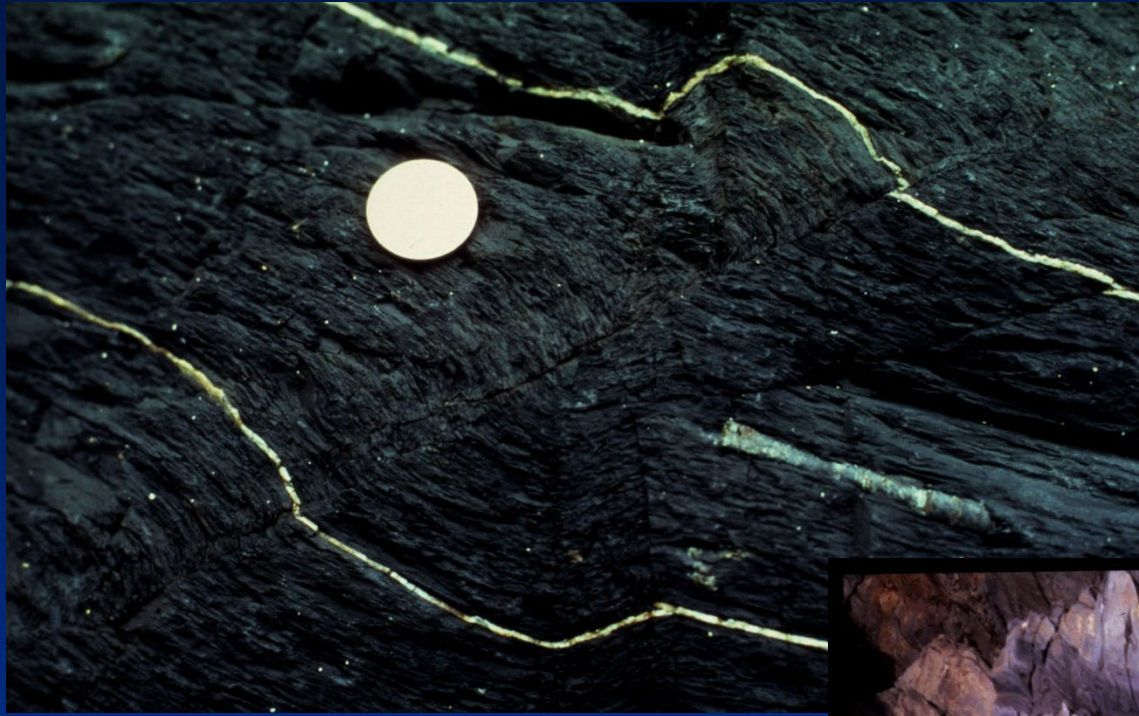
Immagini e fotografie tratte da:

- Boccaletti M & Tortorici L., 1987. Appunti di Geologia Strutturale. Patron Editore.
- Champati, A.K., et al., 2017. Hook-shaped type-3 superposed fold in granulite, Badarama complex, Rengali province, India. International Journal of Earth Sciences, 106, 2473–2474. <https://doi.org/10.1007/s00531-017-1486-5>
- Deiana G., 2004. Elementi di tettonica. Edimond.
- Fossen H., 2010. Structural Geology. Cambridge
- Homza T.X., Wallace W.K., 1995. Geometric and kinematic models for detachment folds with fixed and variable detachment depths. Journal of Structural Geology, 17, 575-588.
- Mercier J., Vergely P., 1996. Tettonica. Pitagora Editore.
- Passchier C.W., Trouw R.A.J., 2006. Microtectonics. Springer.
- Pini, materiale inedito.
- Price N.J., Cosgrove J.W., 1990. Analysis of Geological Structures. Cambridge University Press.
- Ramsay J.G., 1967. Folding and Fracturing of Rocks. McGraw-Hill Book Company.
- Ramsay J. G., Huber M. I., 1987. The Techniques of Modern Structural Geology. Volume 2: Folds and Fractures. Academic Press Inc.
- van der Pluijm B., Marshak S., 2004. Earth Structure: An Introduction to Structural Geology and Tectonics, Second Edition. WW Norton & Company.

GA Pini



GA Pini

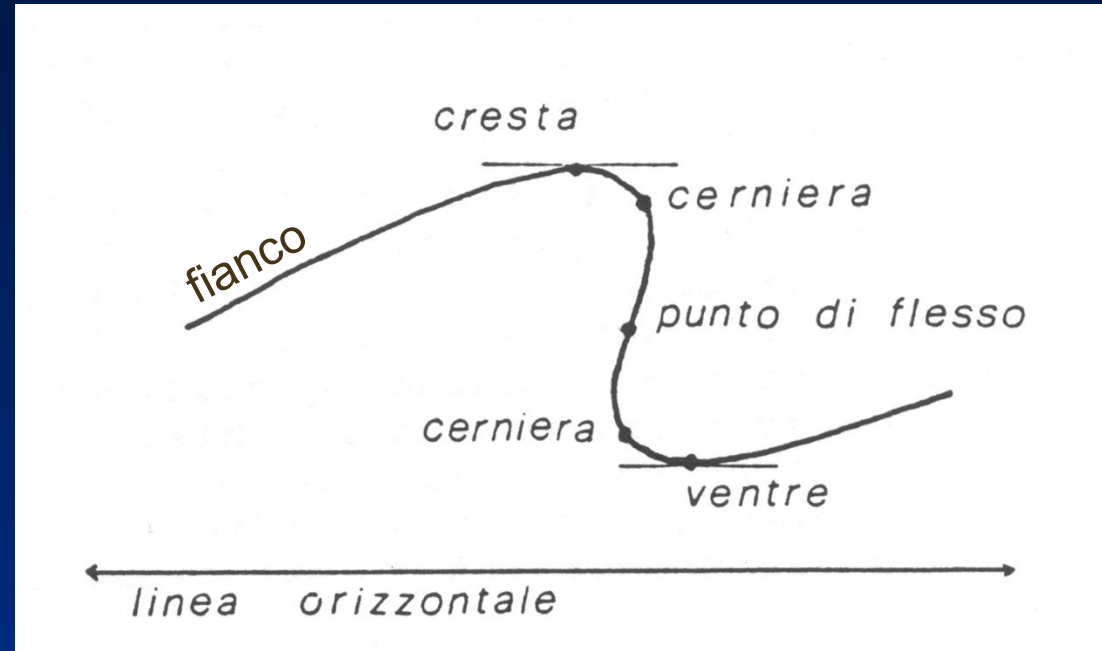


Da Ramsay and Huber, 1987

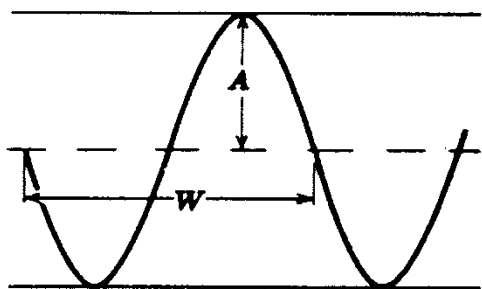
Da Ramsay and Huber, 1987



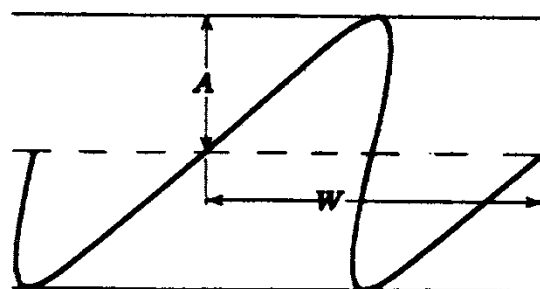
Da Boccaletti & Tortorici, 1987



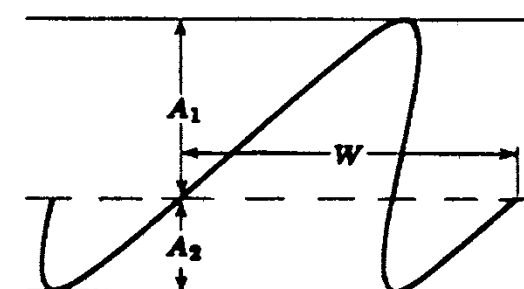
W =lunghezza d'onda; A =ampiezza



a
Piega simmetrica



b
Piega asimmetrica



Da Boccaletti & Tortorici, 1987

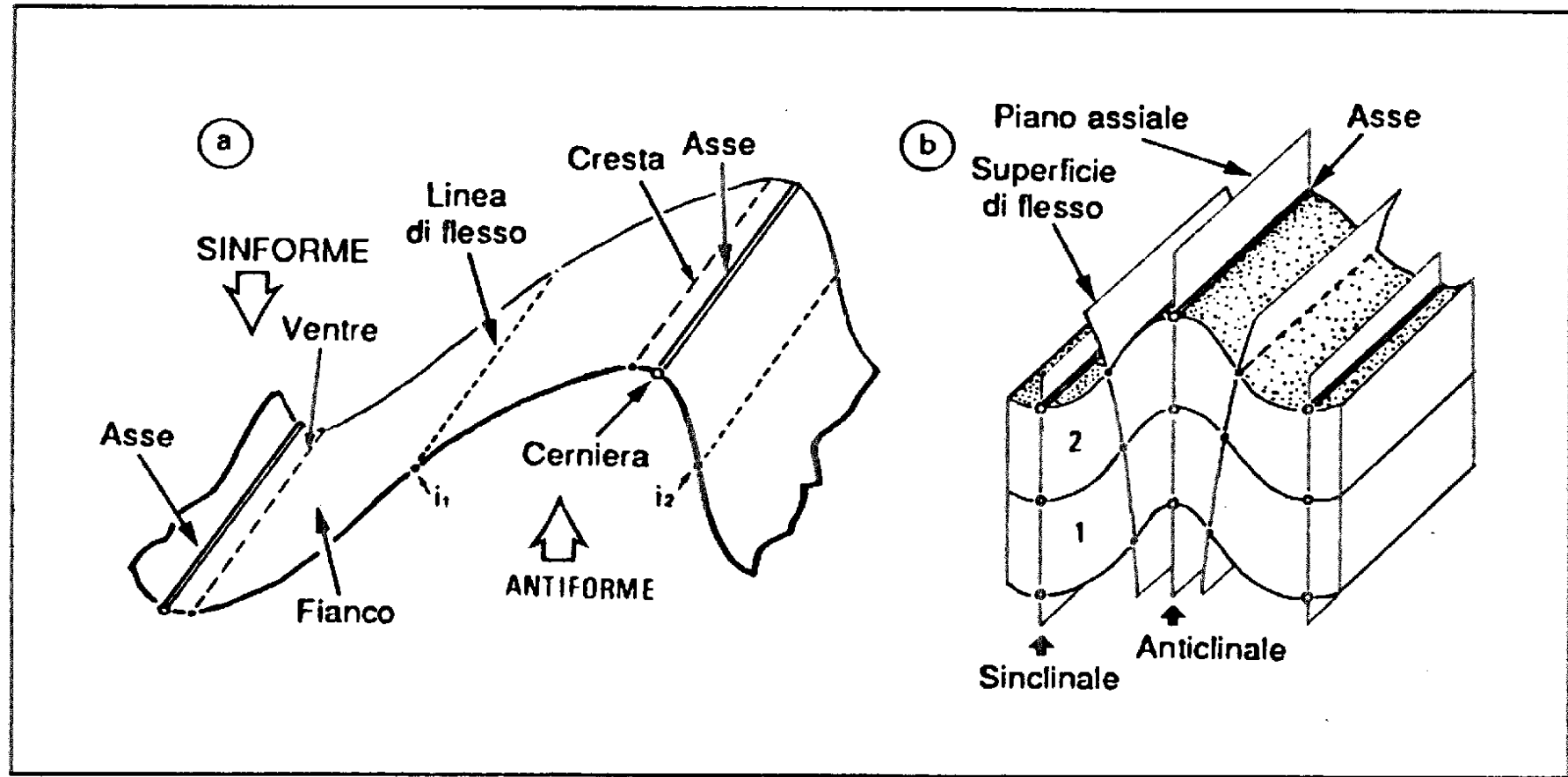
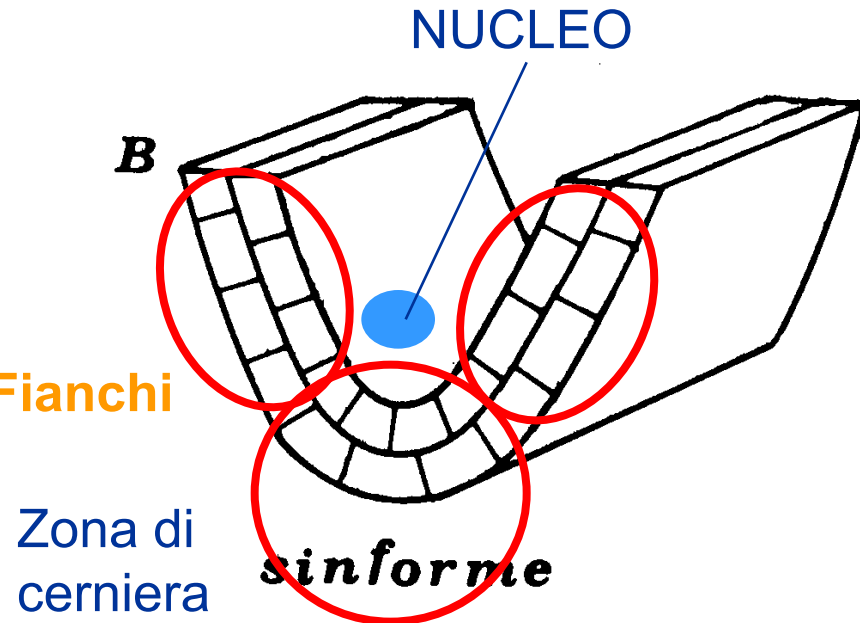
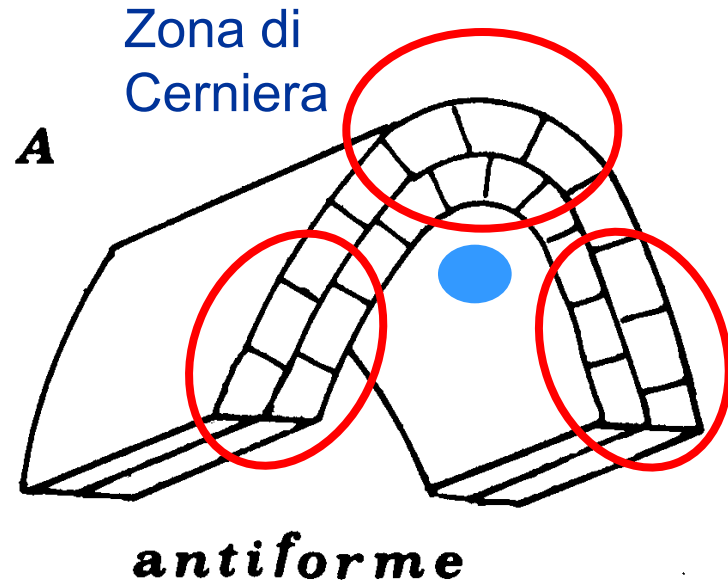
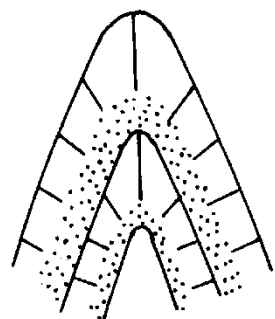


Figura 8.1. Principali termini utilizzati per la descrizione delle pieghe.

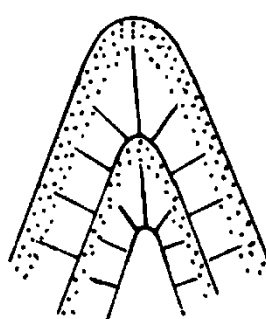




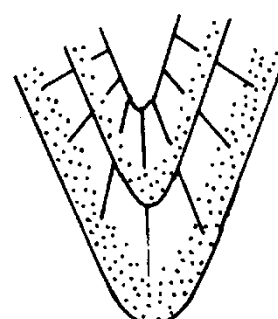
Anticlinale=rocce più antiche al nucleo
Sinclinale=rocce più recenti al nucleo



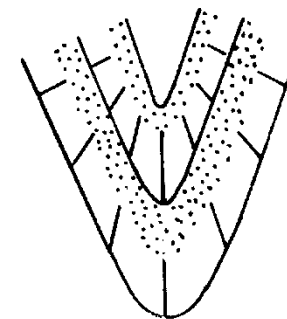
a



b



c

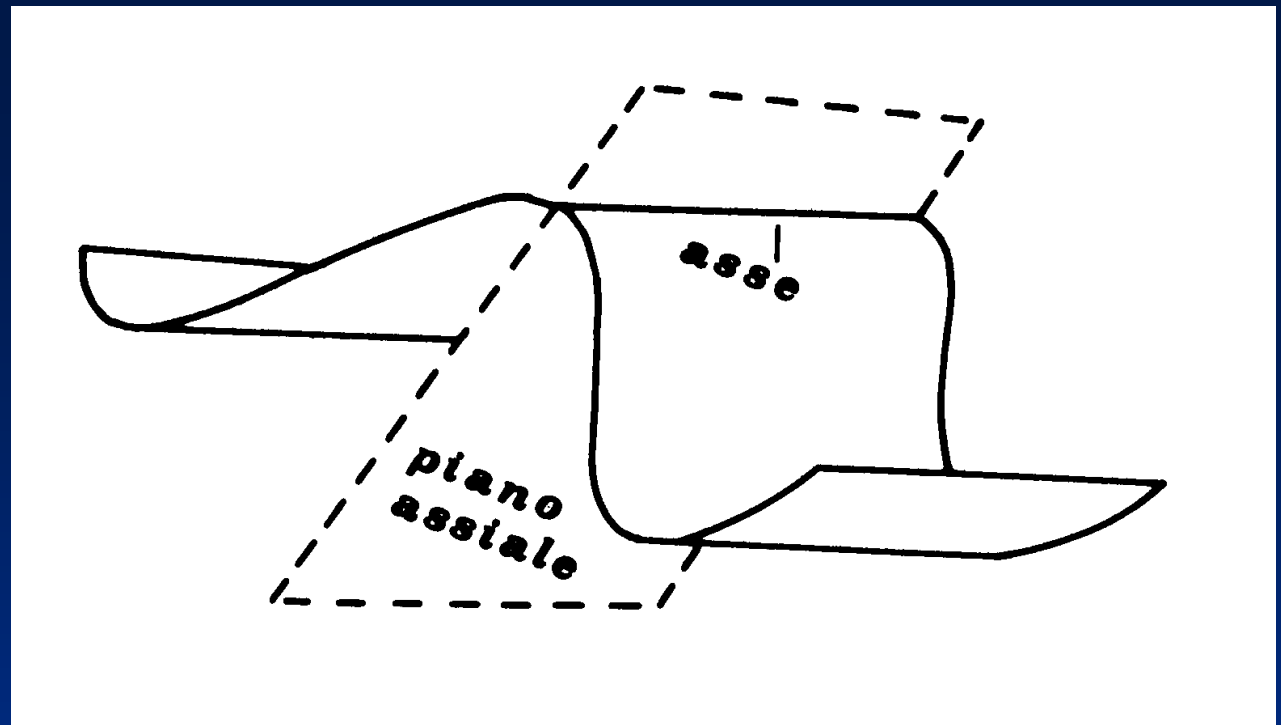


d

Fig. 50 - Esempi di antiforme anticlinale (a), antiforme sinclinale (b), siniforme sinclinale (c) e siniforme anticlinale (d).

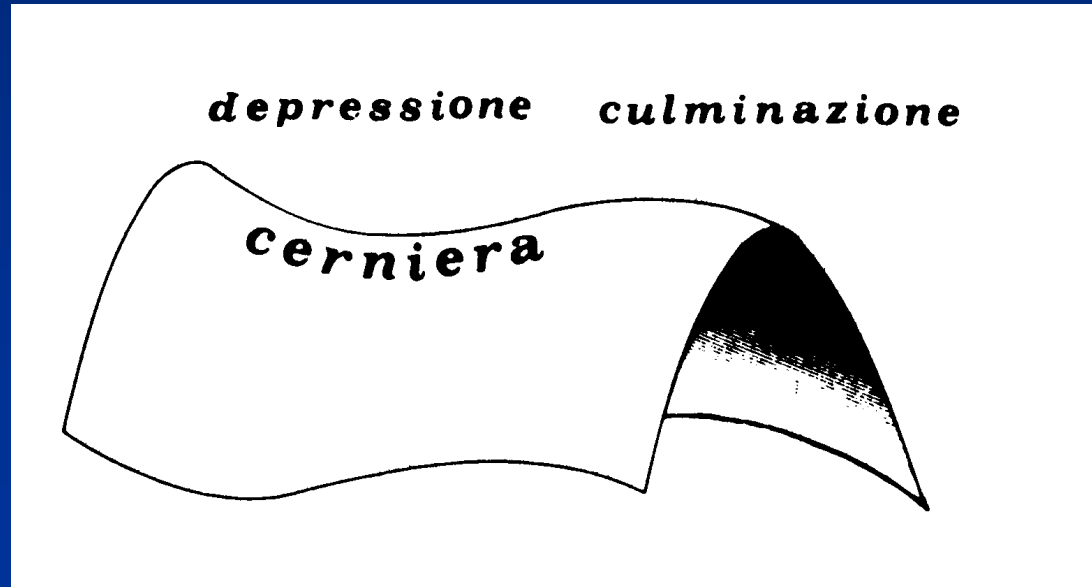
Da Boccaletti & Tortorici, 1987

Da Boccaletti & Tortorici, 1987



Da Boccaletti & Tortorici, 1987

depressione culminazione





© 2010 Europa Technologies
© 2010 Cnes/Spot Image
© 2010 Google
Image © 2010 DigitalGlobe

Google
©2009

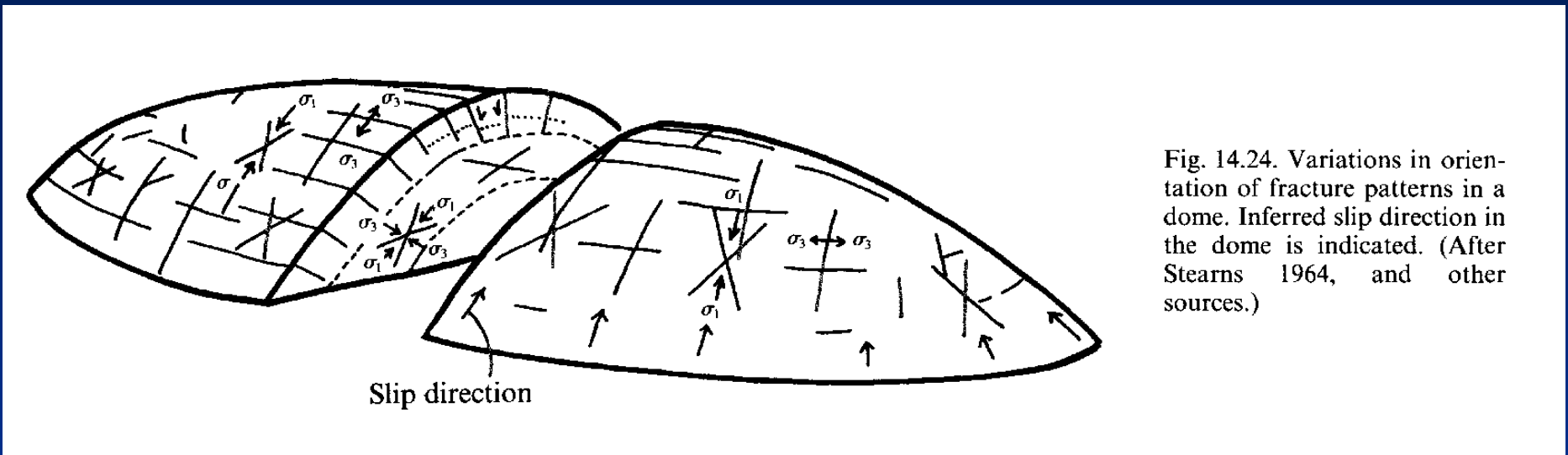
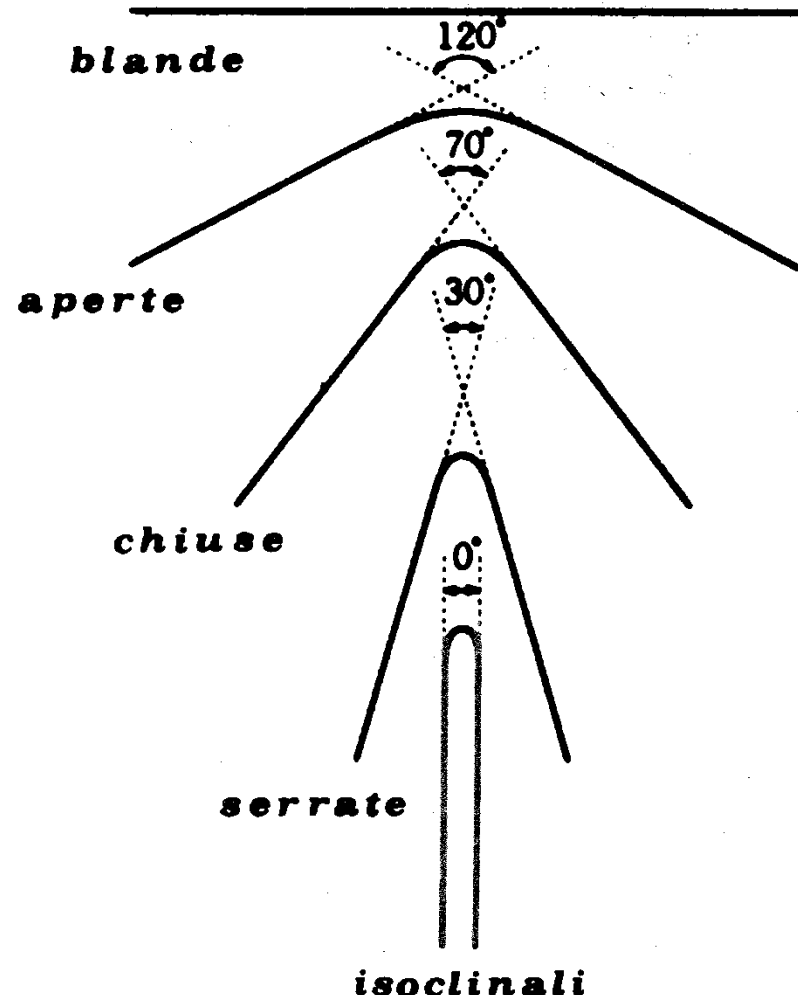


Fig. 14.24. Variations in orientation of fracture patterns in a dome. Inferred slip direction in the dome is indicated. (After Stearns 1964, and other sources.)

Da Price and Cosgrove, 1990



pieghe blonde	$120^\circ - 180^\circ$
pieghe aperte	$70^\circ - 120^\circ$
pieghe chiuse	$30^\circ - 70^\circ$
pieghe serrate	$10^\circ - 30^\circ$
pieghe isoclinali	$0^\circ - 10^\circ$



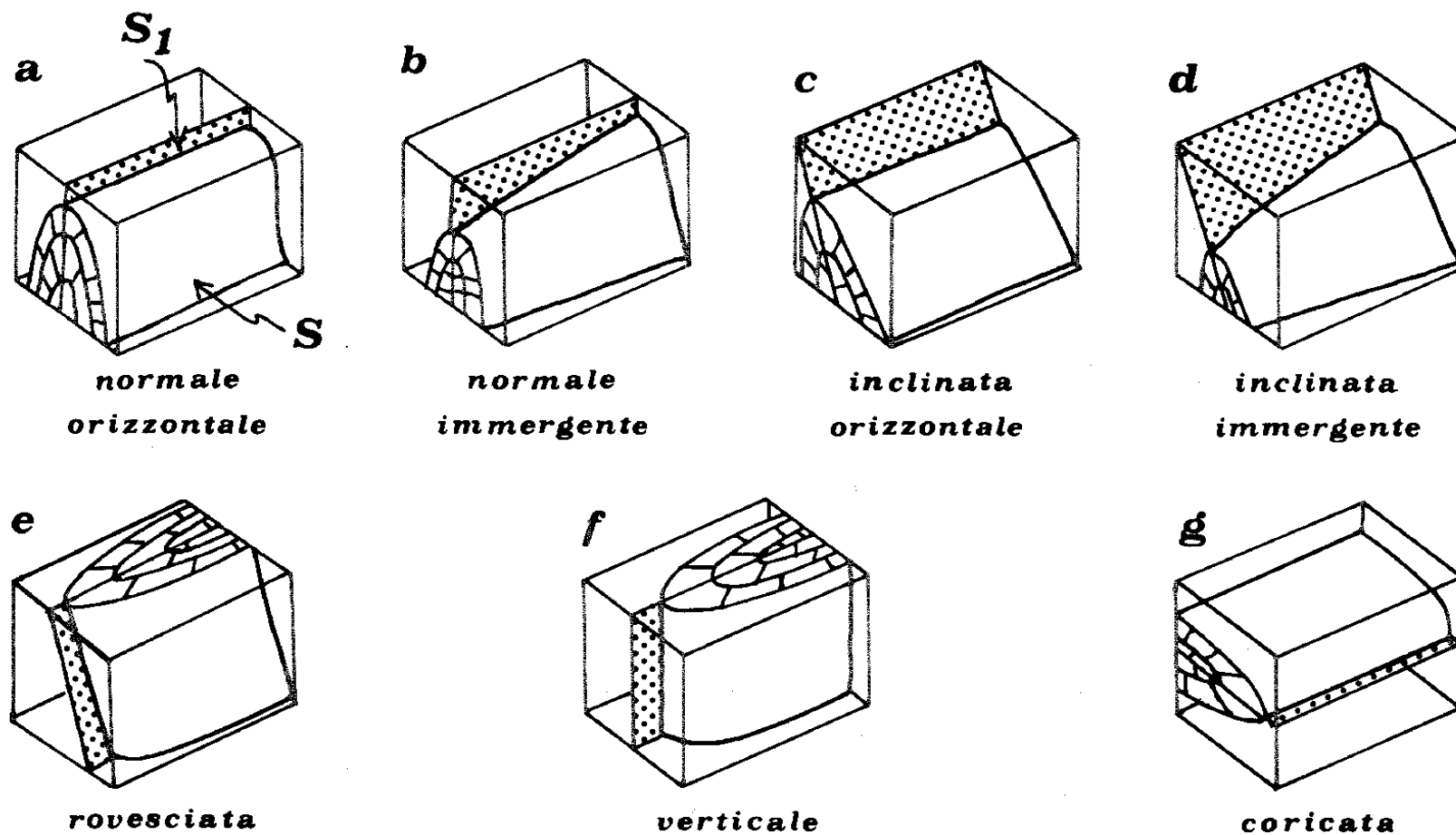


Fig. 79 - Diagrammi tridimensionali di pieghe secondo la classificazione del diagramma di fig. 78.

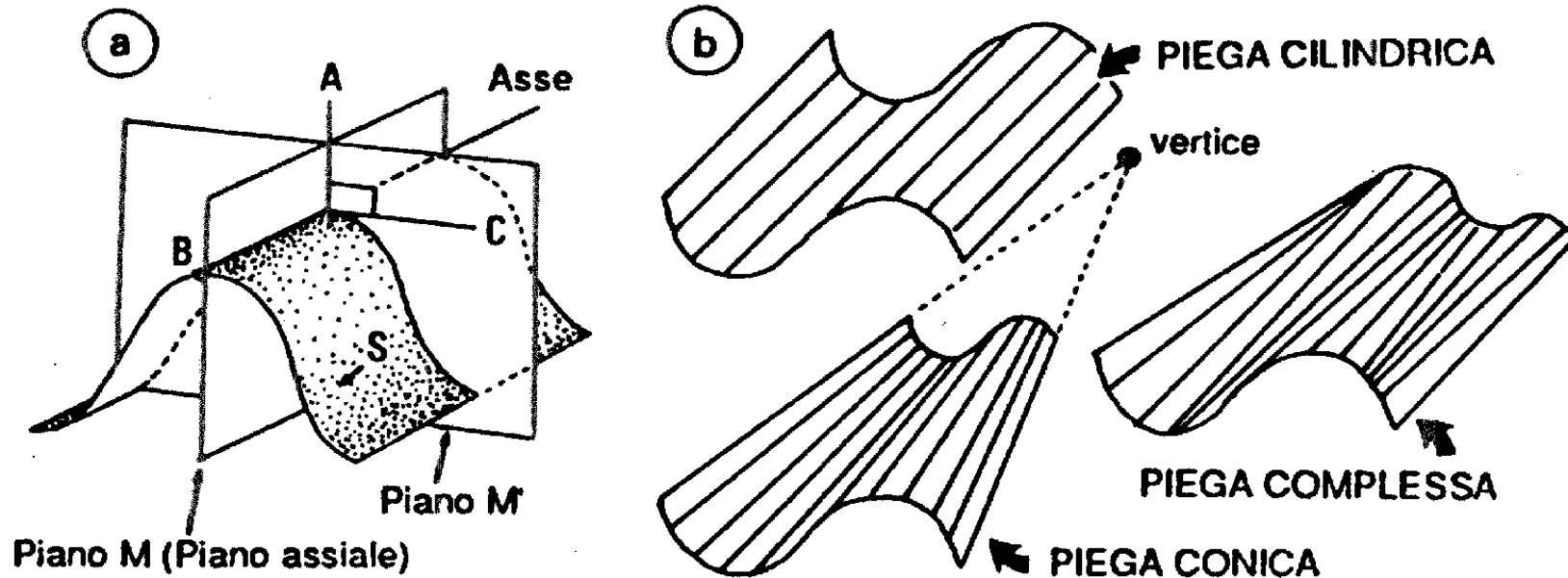


Figura 8.5. a) Piani di simmetria (M e M') ed assi geometrici (A , B , C) di una piega; **b)** superficie piegata descritta secondo le sue generatrici (piega cilindrica, conica e complessa).



C.C. Luente

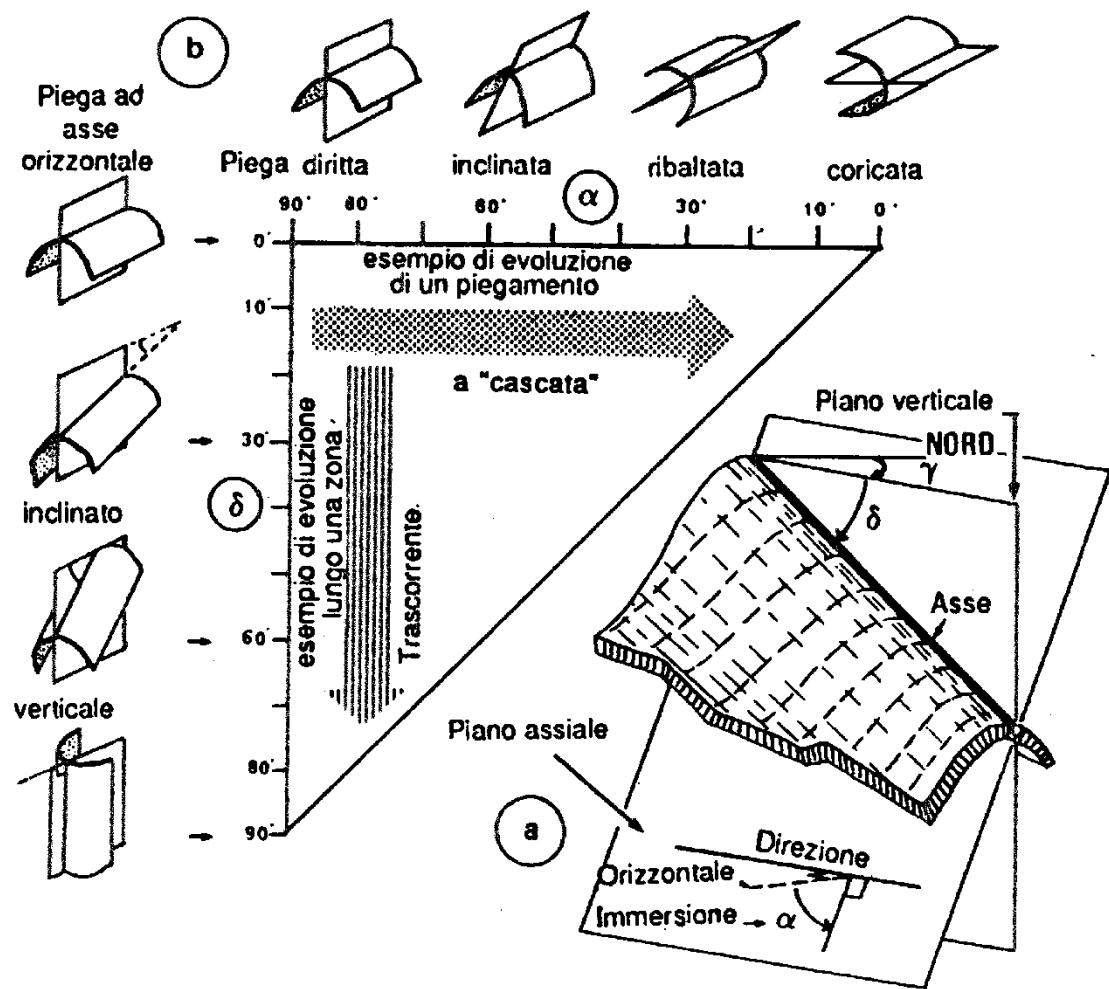


Figura 8.4. Diagramma di Fleuty (1964, Proc. Geol. Ass. Lond., 75, 461-492) che rappresenta le pieghe in funzione dell'immersione (δ) dell'asse e dell'inclinazione (α) del piano assiale.

Da Mercier & Vergely, 1996

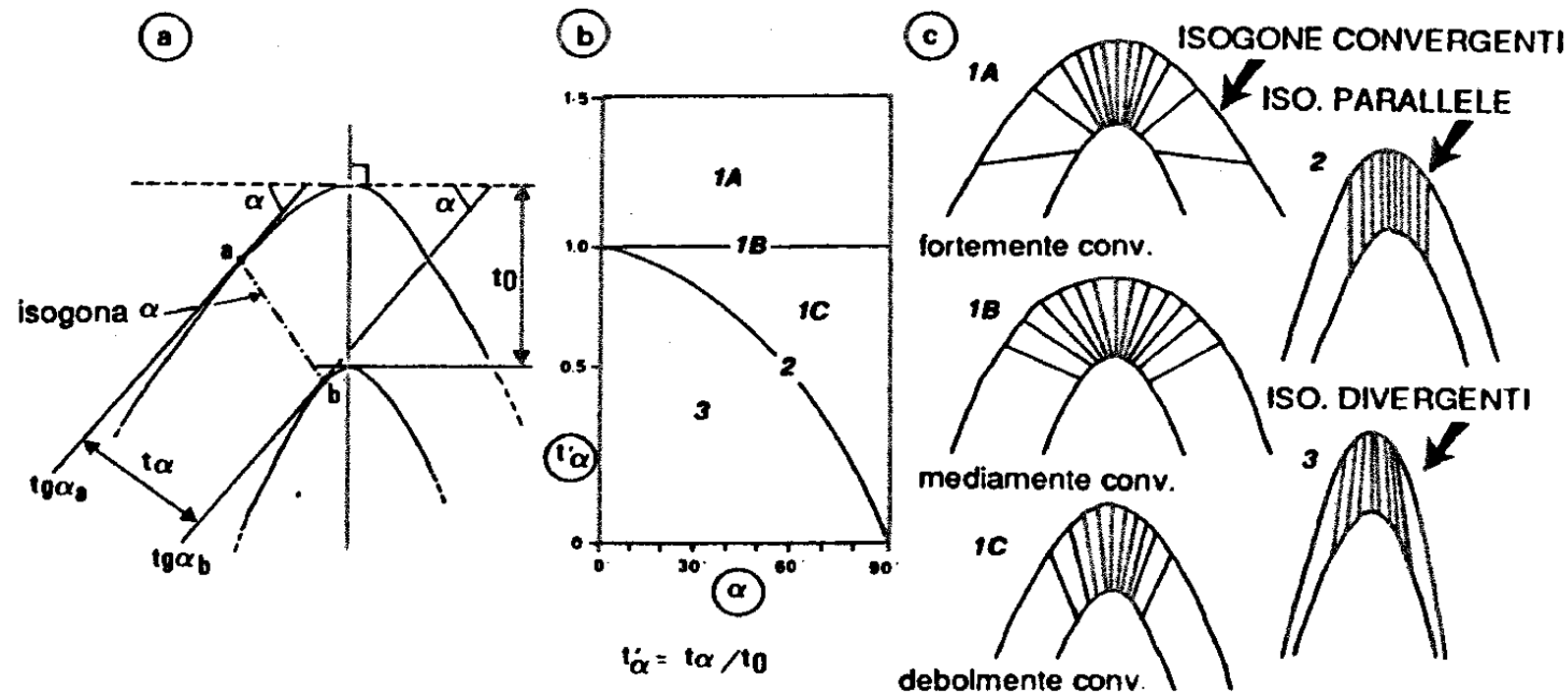
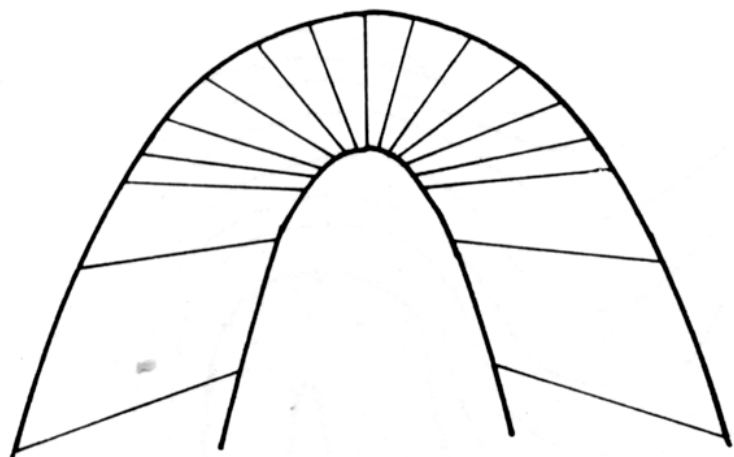
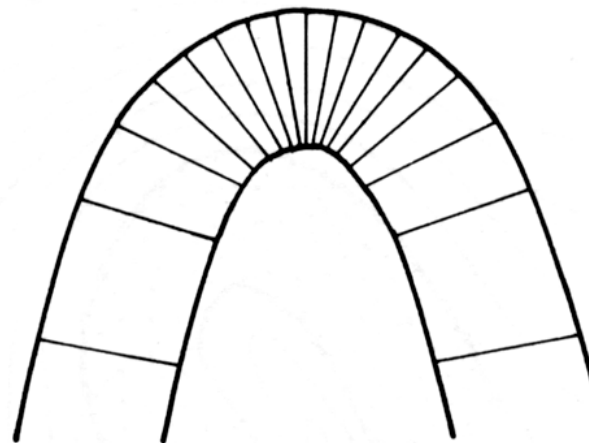


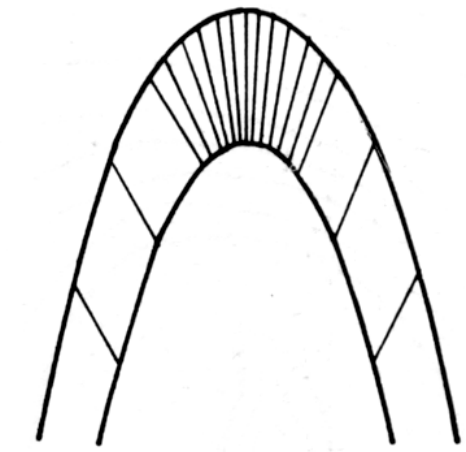
Figura 8.6. Classificazione delle pieghe secondo Ramsay (1967, McGraw Hill, 568 p.): a) determinazione dei valori di i_0 e i_α e costruzione dell'isogona α lungo una sezione della piega; b) diagramma di $t'\alpha$ in funzione di i_α che definisce le diverse classi delle pieghe; c) geometria delle isogone delle pieghe di differenti classi.



1A



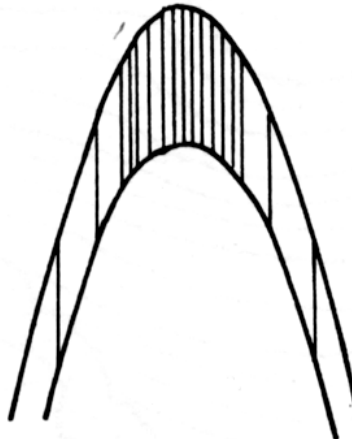
1B, Parallel



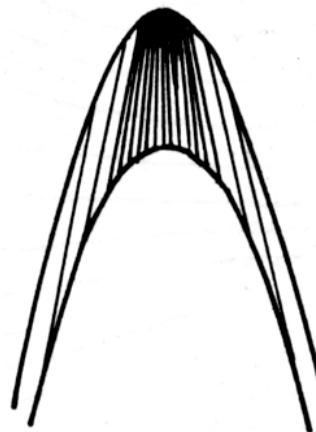
1C

Class 2

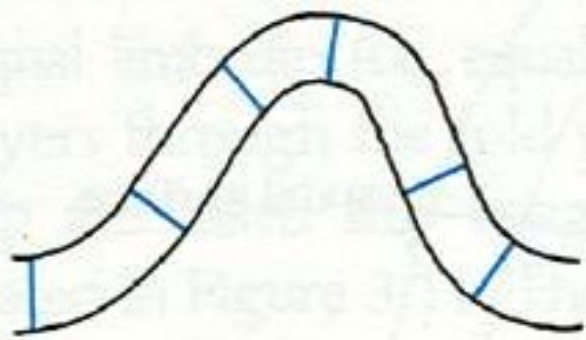
Class 3, divergent isogons



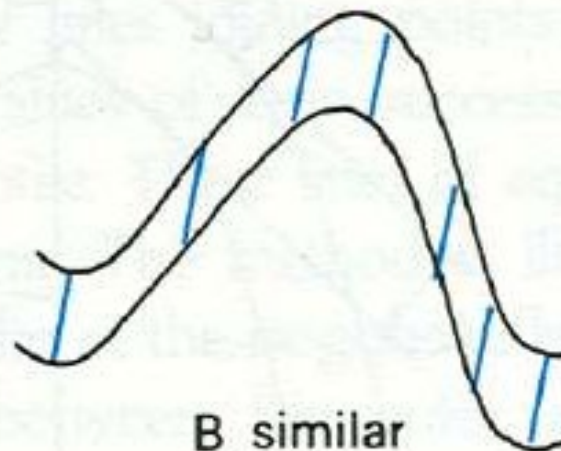
2, Similar



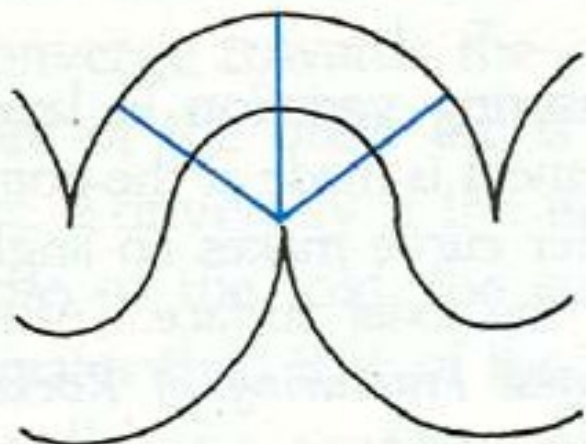
3



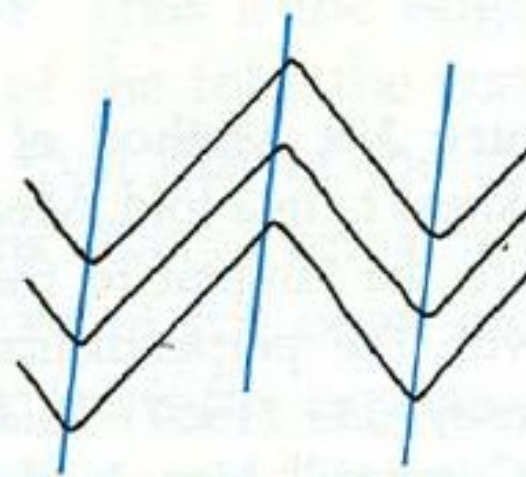
A parallel



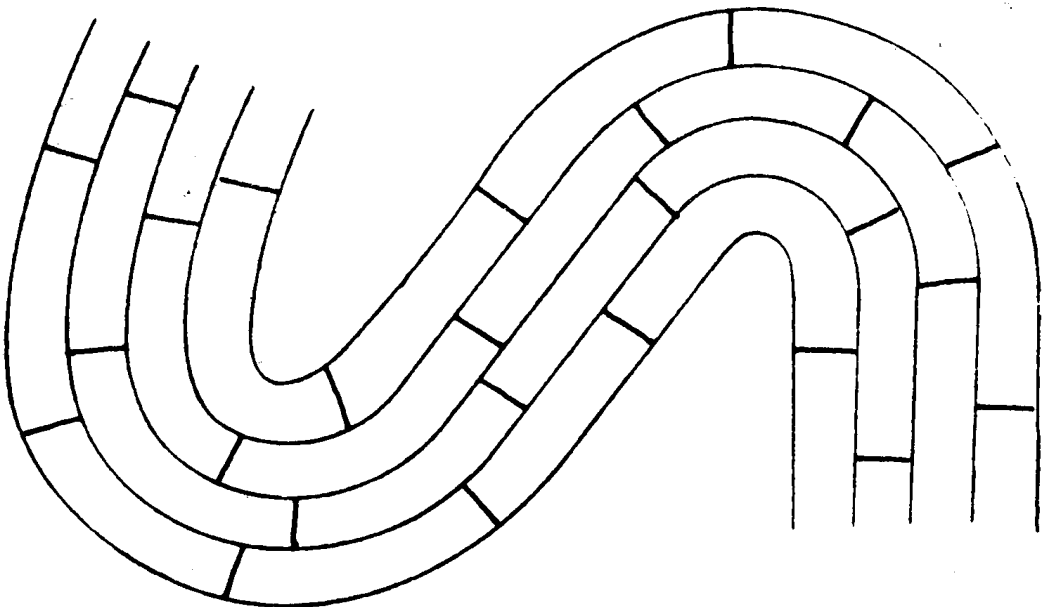
B similar



C concentric



D chevron



Pieghe parallele

Da Boccaletti & Tortorici, 1987

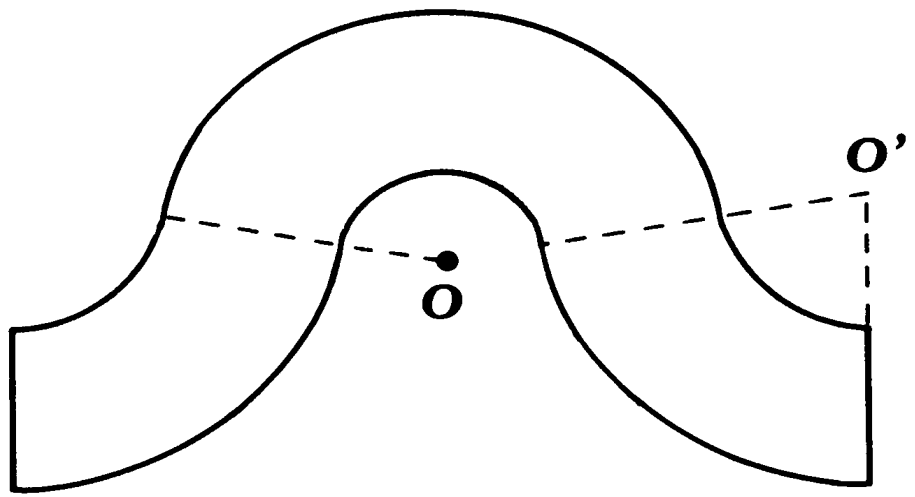
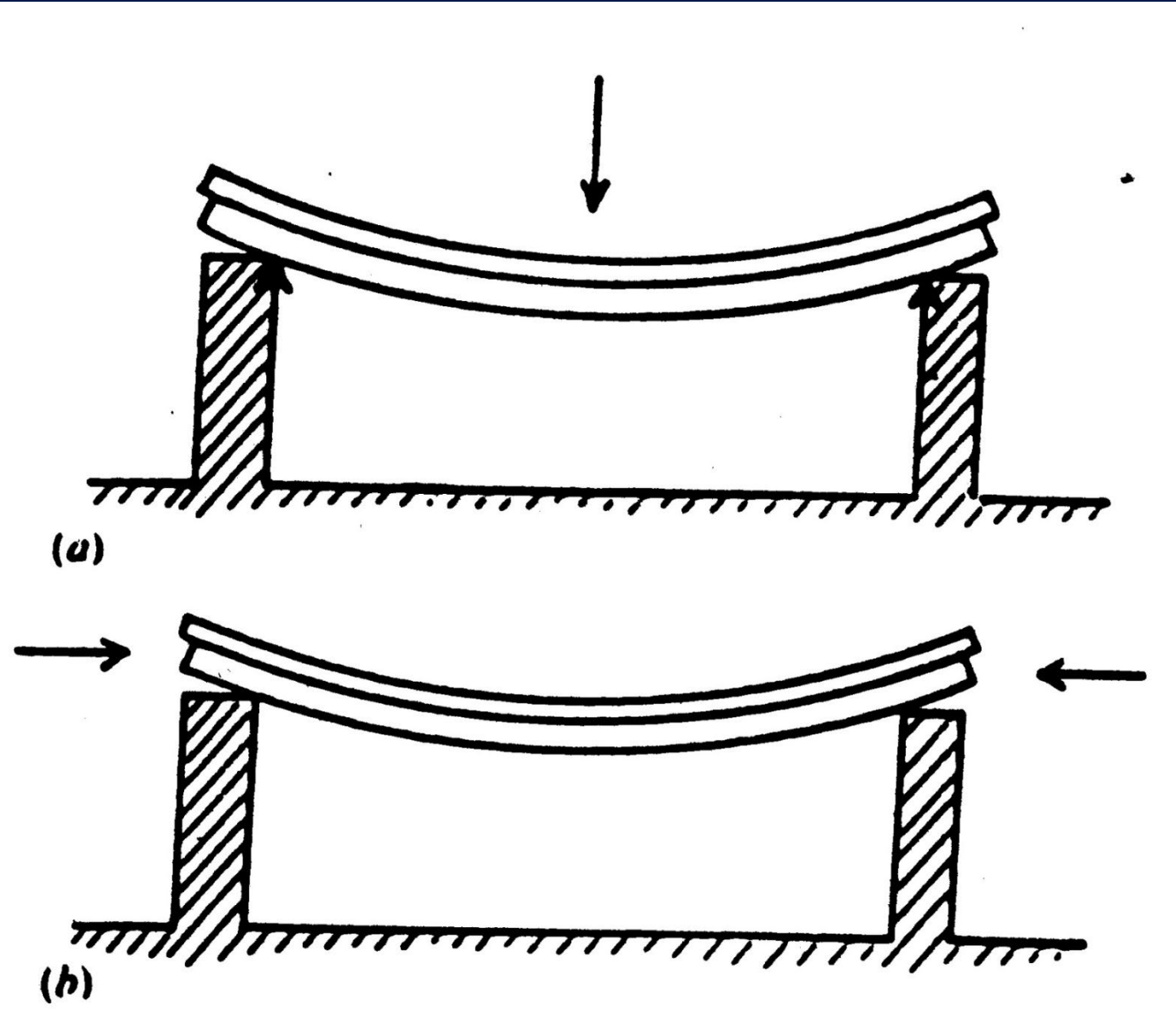
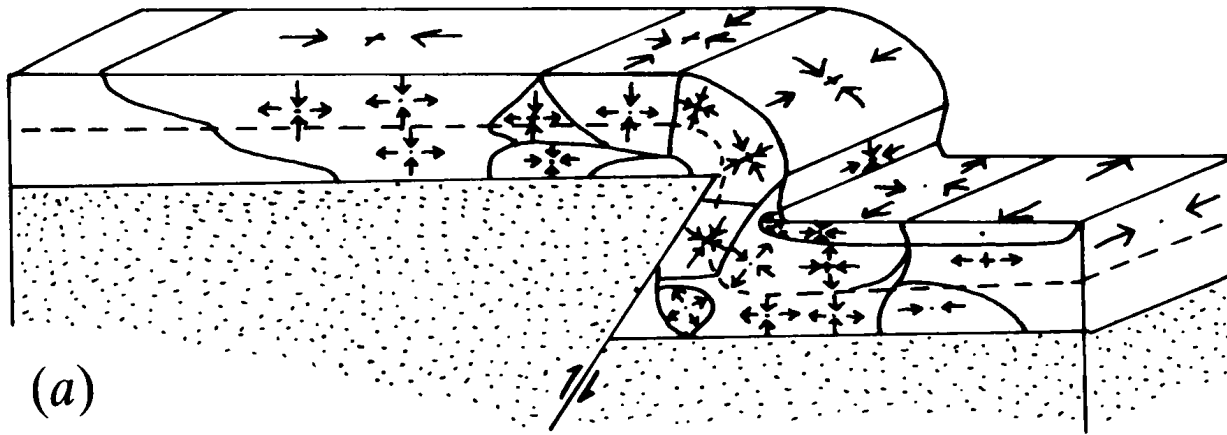


Fig. 66 - Esempio di piega concentrica. I punti O e O' rappresentano i centri origine dei relativi archi di circonferenza.

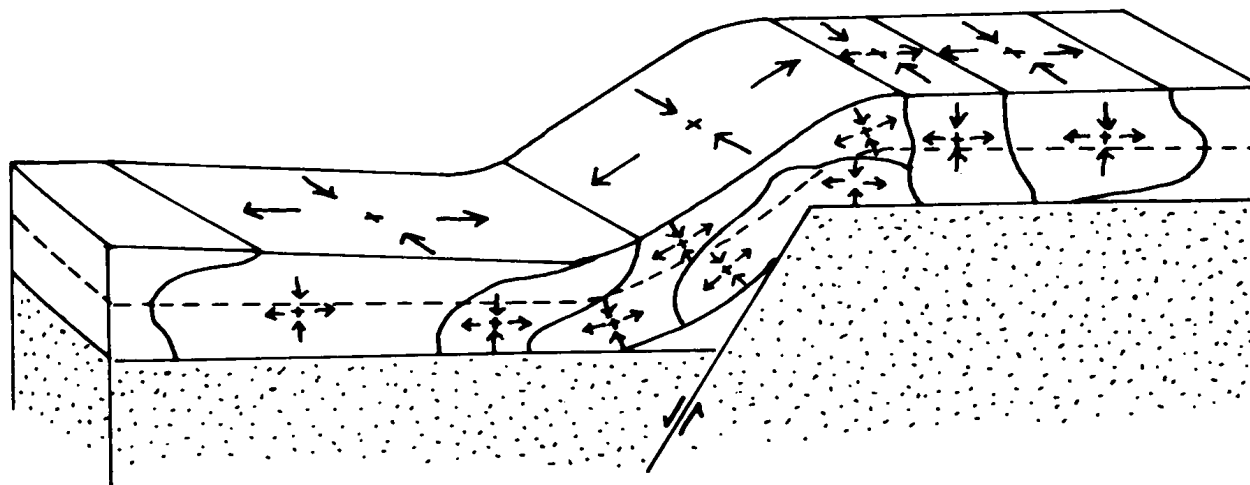


Bending

Buckling



(a)



(b)

Fig. 10.20. Experiments showing the effects of (a) reverse and (b) normal faulting in a rigid basement on a layered, ductile cover.
(After Ameen 1988.)

Pieghe per
flessione passiva

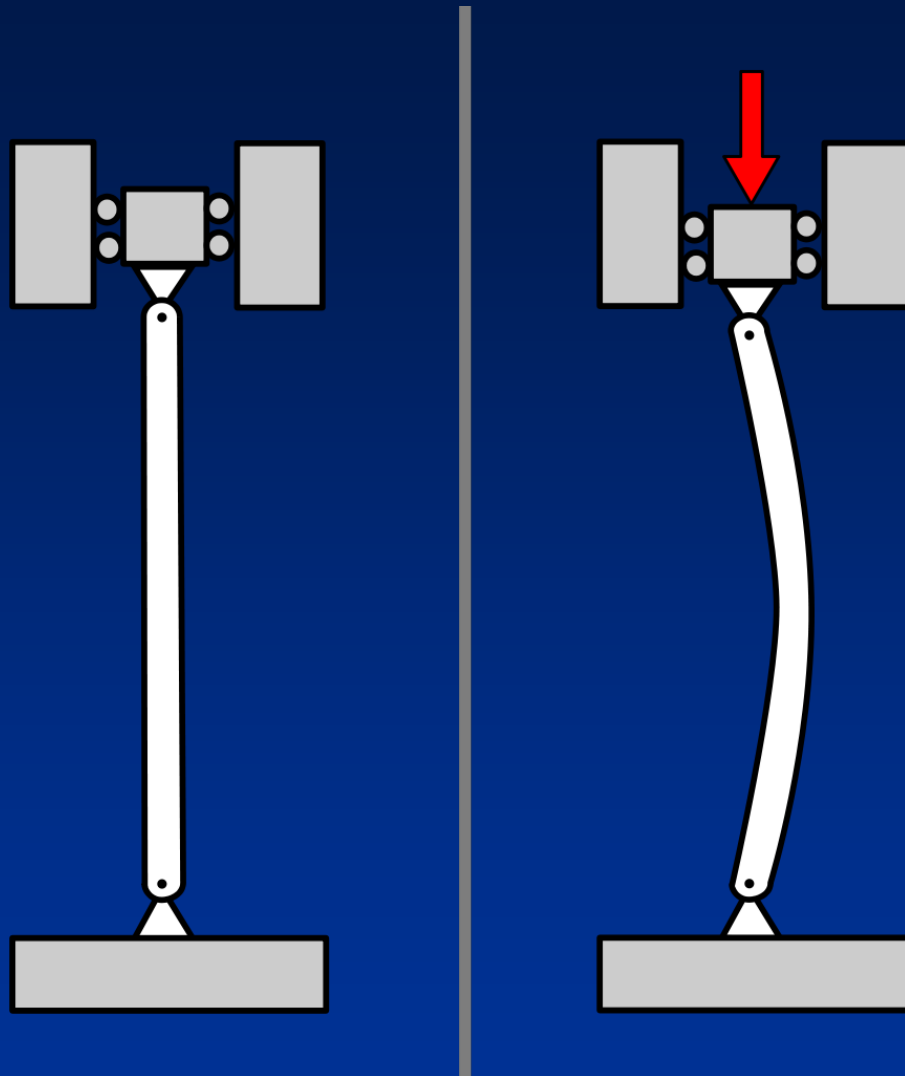
Bending

Da Price &
Cosgrove,
1990

Buckling

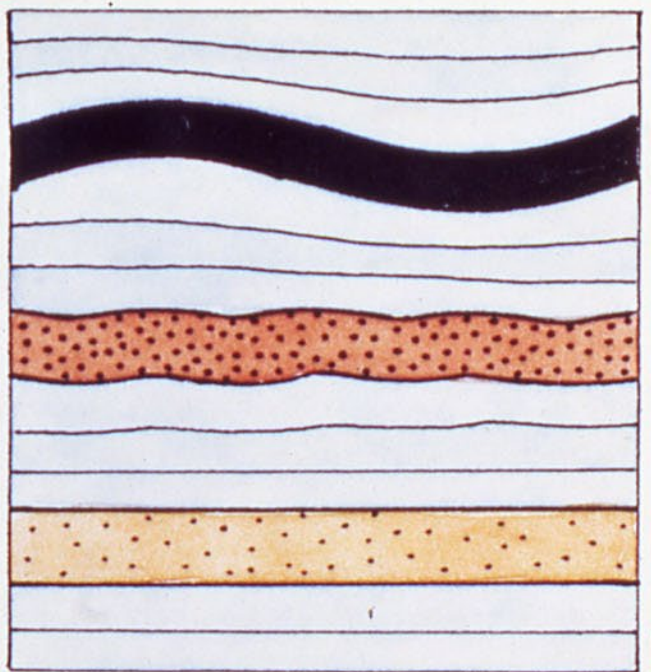


High heat resulted in thermal expansion of these rails, buckling this section of railway. Da U.S. Department of Transportation. Public domain, last modified 2019. <https://toolkit.climate.gov/image/1001>



By Buckled_column.png: Original uploader was Spindustrious at en.wikipedia derivative work: Mircalla22 (talk) - Buckled_column.png, Public Domain, <https://commons.wikimedia.org/w/index.php?curid=7648435>

A.

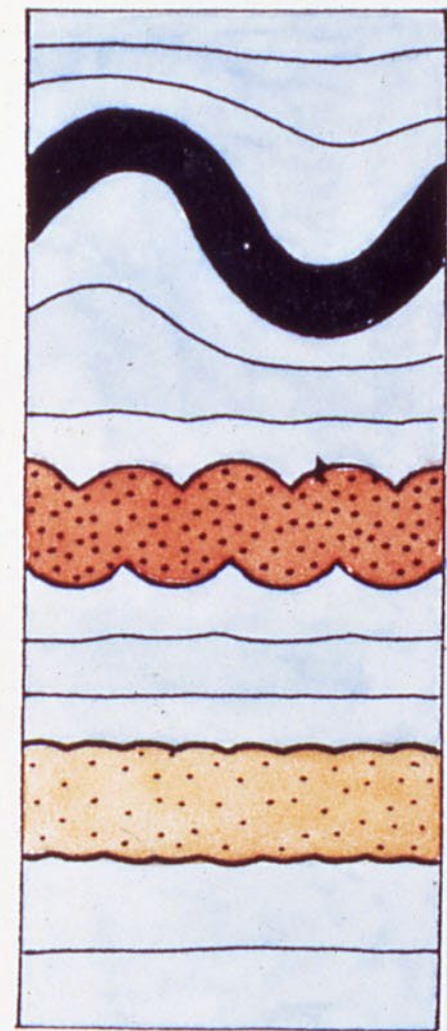
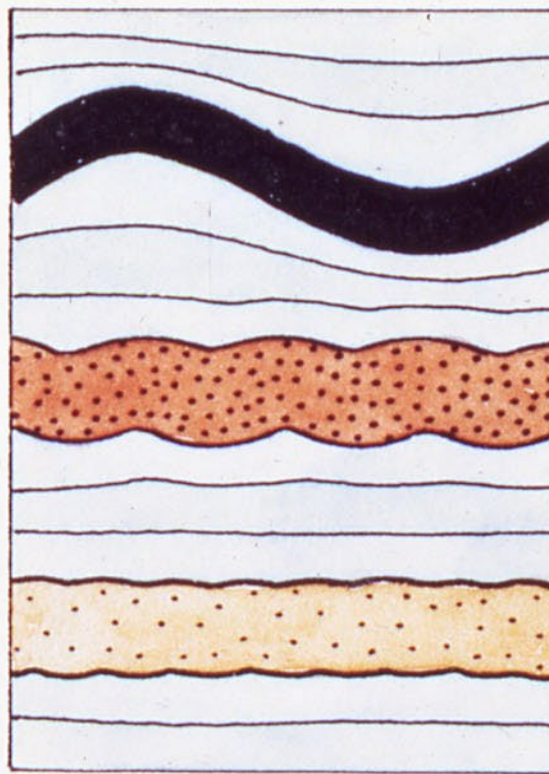


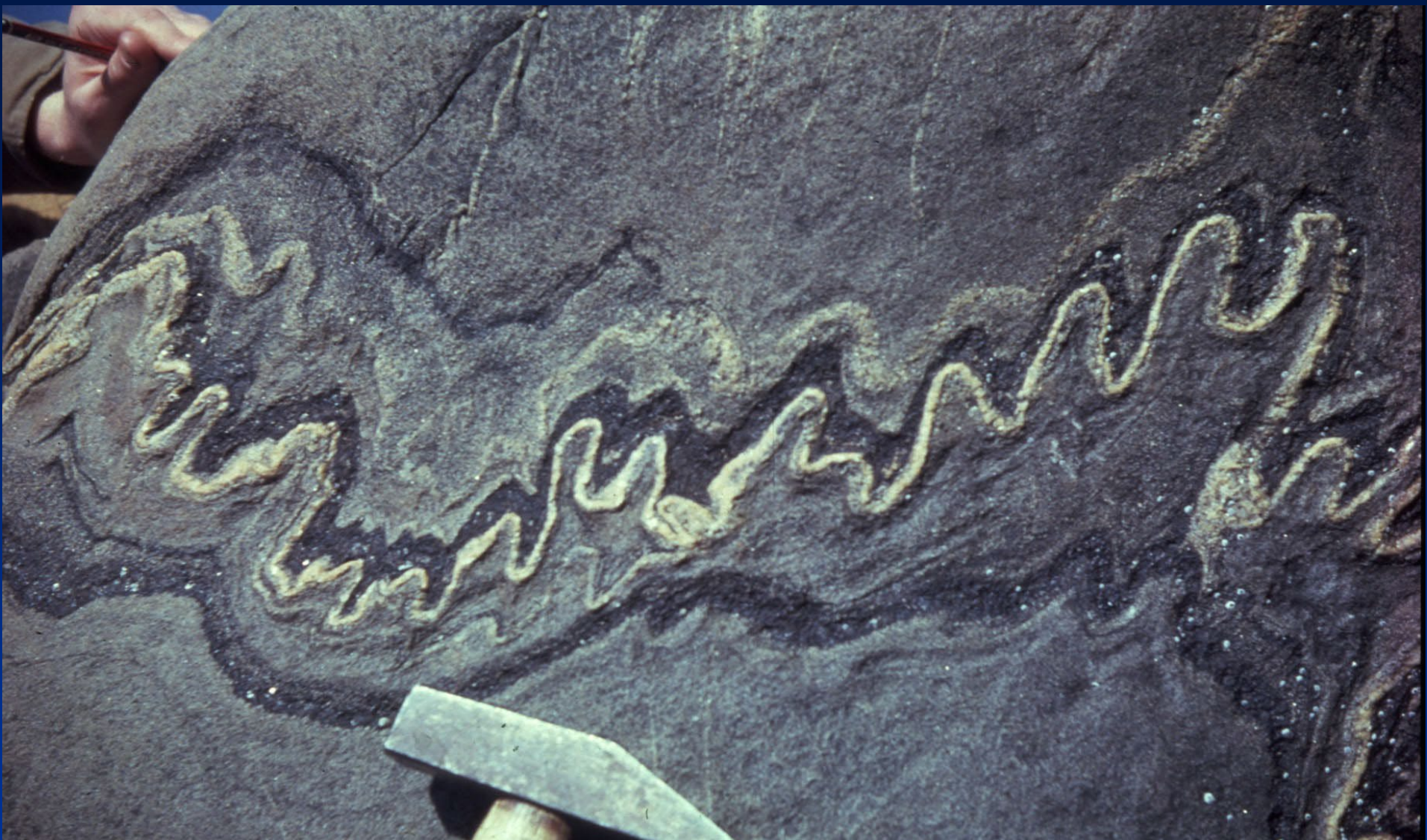
a

b

c

d

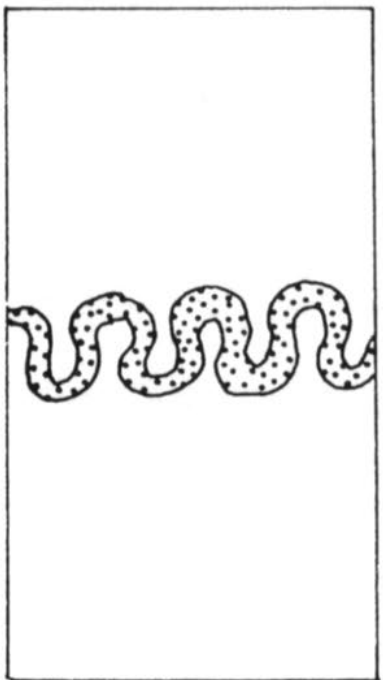




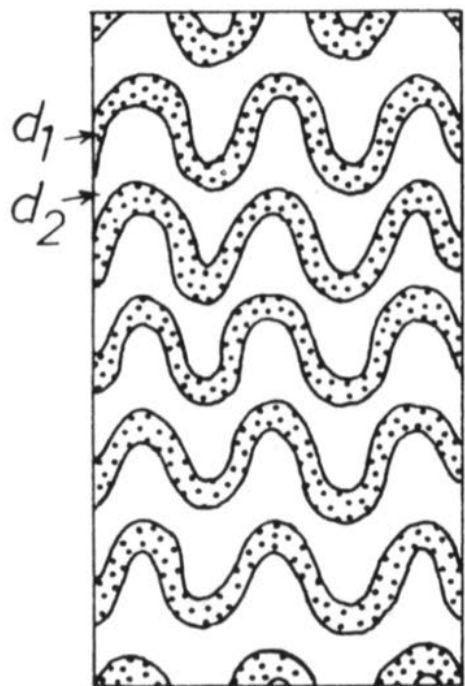
Da Ramsay & Huber, 1987

Pieghe ptigmatiche o a elastico

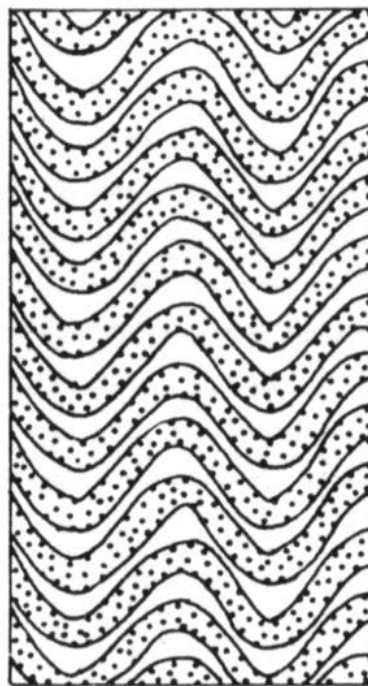
A. $n = \infty$



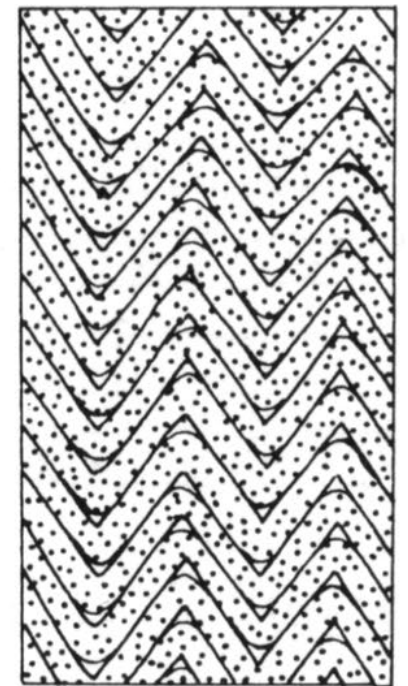
B. $n = 4$



C. $n = 1$



D. $n = 0.2$



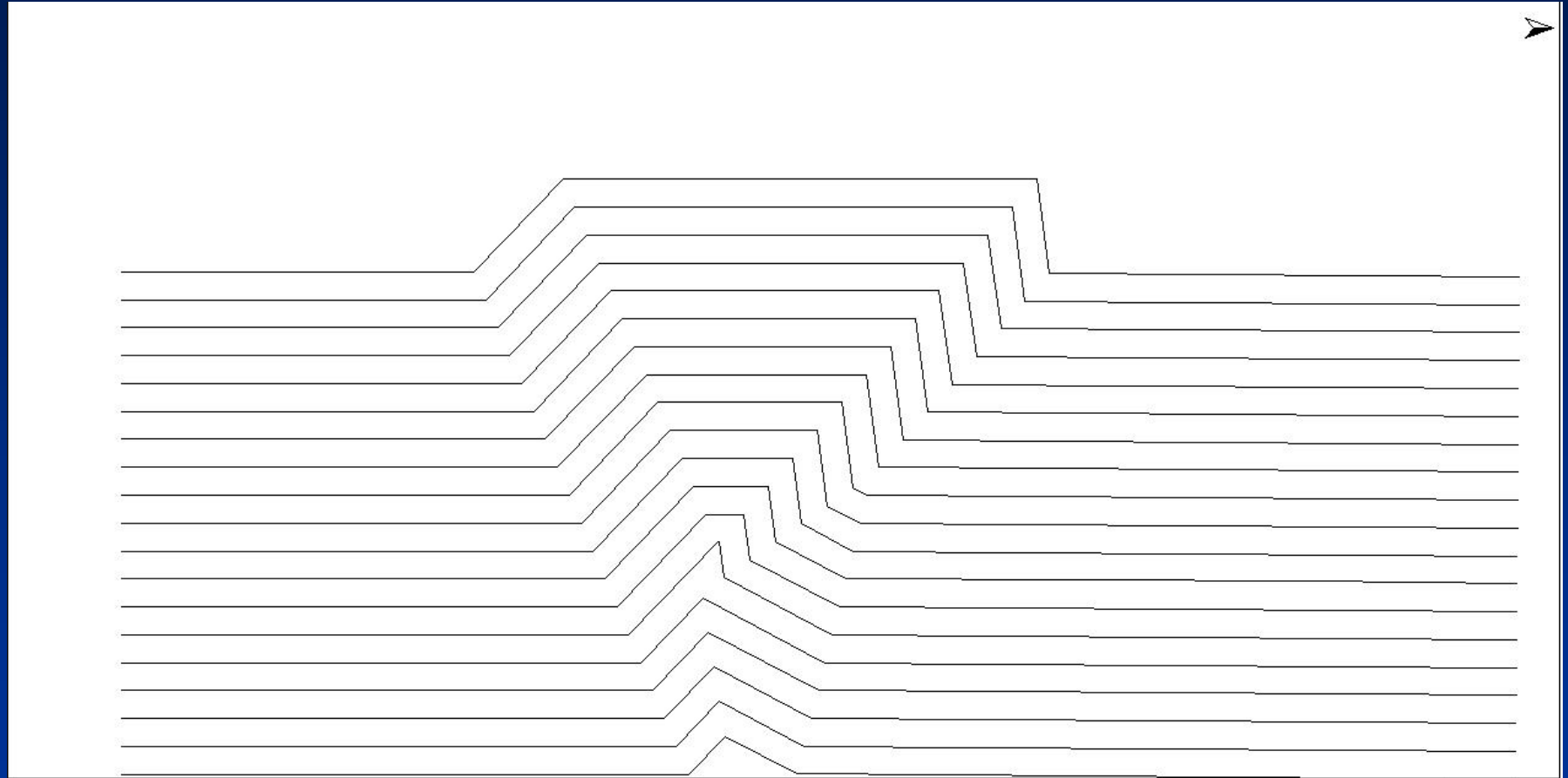
Da Ramsay & Huber, 1987

$$n = d_2 / d_1$$

Rapporto tra gli spessori dei livelli incompetenti e competenti

Pieghe chevron e “a scatola” (box fold)





Semplice modello in forwarding da Move (software licenses by courtesy of Petroleum Expert)

Fault-related o thrust-related folds

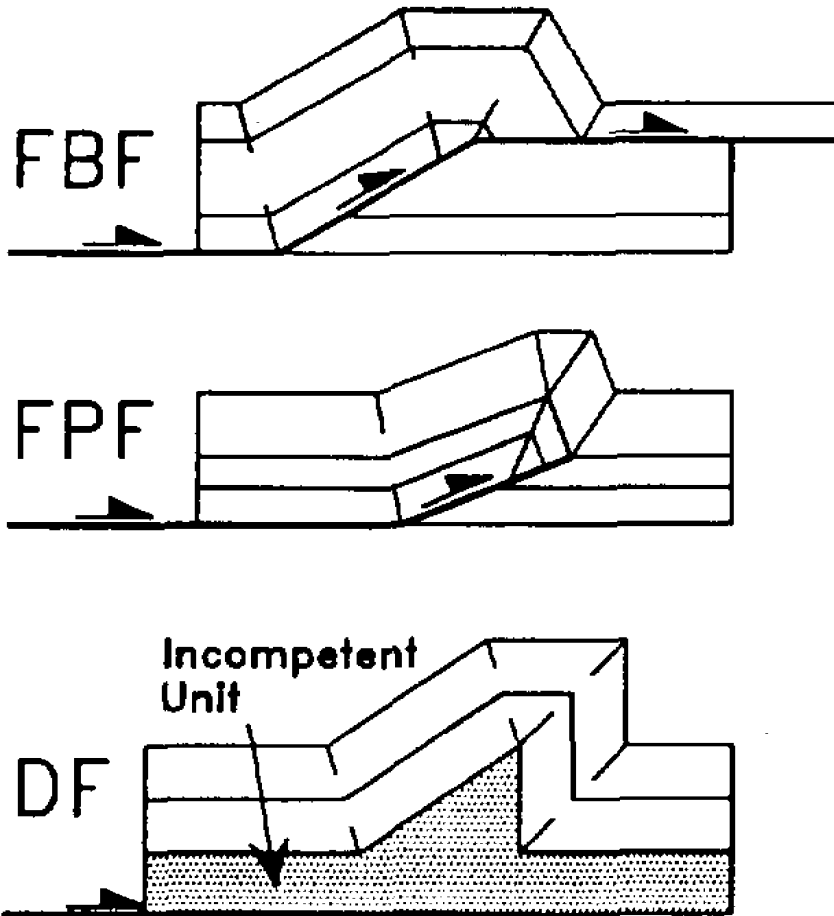


Fig. 1. Three major types of thrust-related folds in fold-and-thrust belts: fault-bend fold (FBF), fault-propagation fold (FPF), and detachment fold (DF).

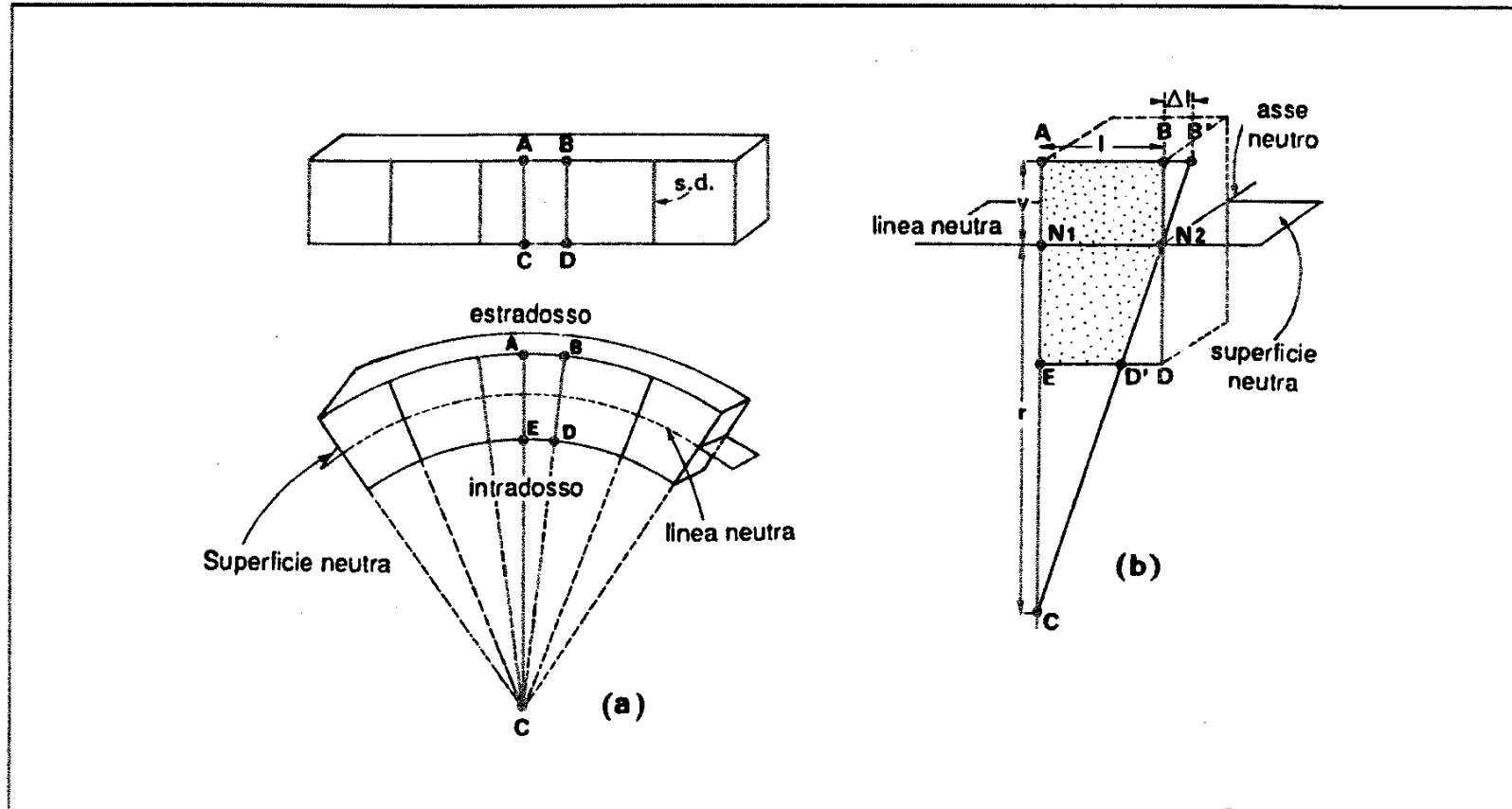


Figura 8.11. Sforzi in una trave in flessione pura (trave in appoggio libero).

Da Mercier & Vergely, 1996

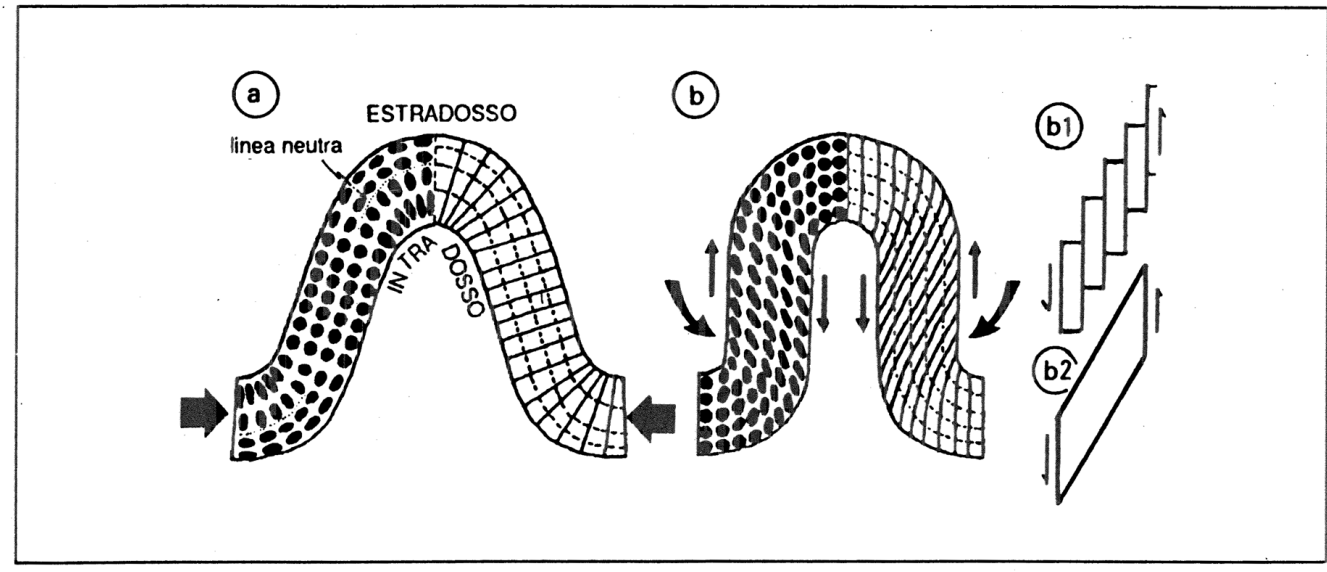


Figura 8.13. Piegamento monostrato a deformazione di cerniera (a) e dei fianchi (b) con taglio discontinuo (b₁) o continuo (b₂).

Da Mercier & Vergely, 1995

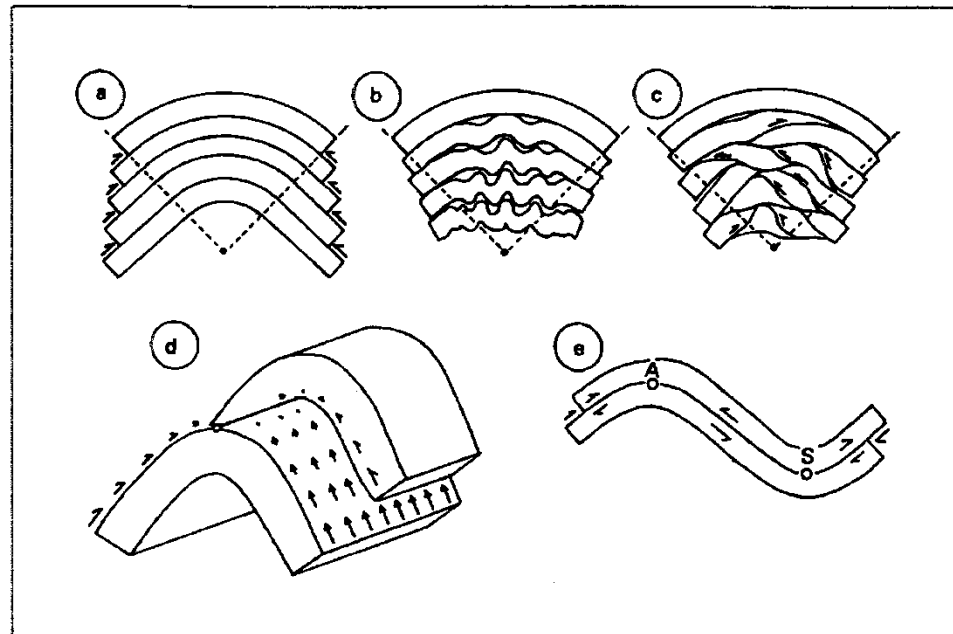


Figura 8.17. Piegamento isopaco di un pacco stratificato: a) modello ideale ed accomodamento della deformazione per micropiegamenti b) o per tagli embriciati c), d) ed e) mostrano lo scorrimento banco su banco.

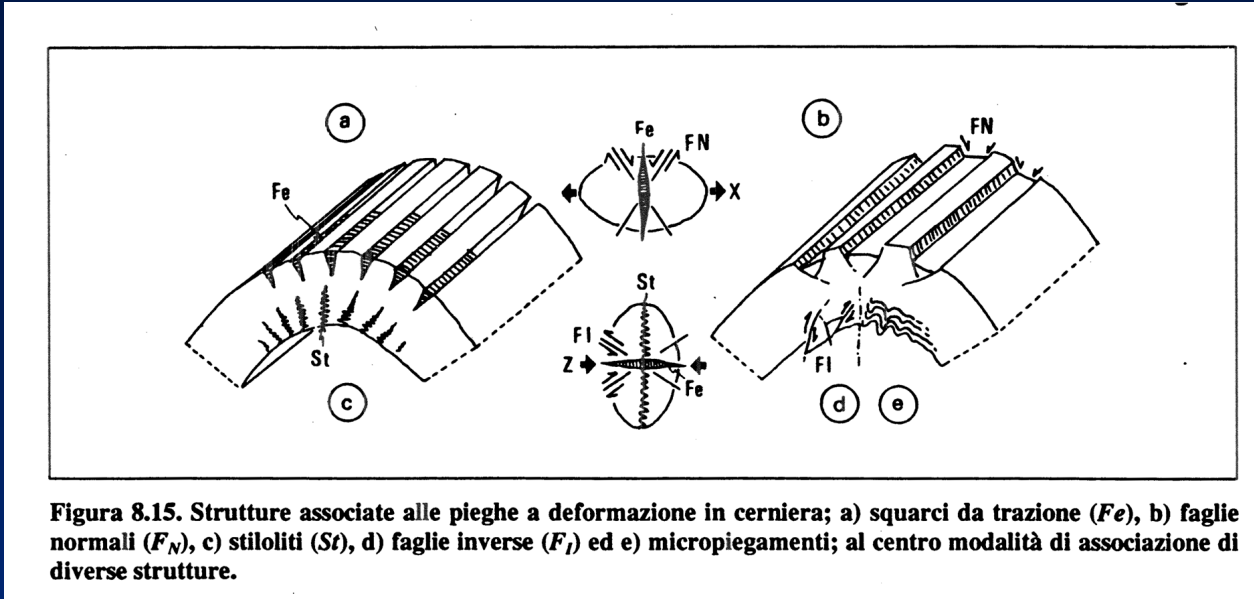


Figura 8.15. Strutture associate alle pieghe a deformazione in cerniera; a) squarci da trazione (Fe), b) faglie normali (FN), c) stiloliti (St), d) faglie inverse (FI) ed e) micropiegamenti; al centro modalità di associazione di diverse strutture.

Da Mercier & Vergely, 1996

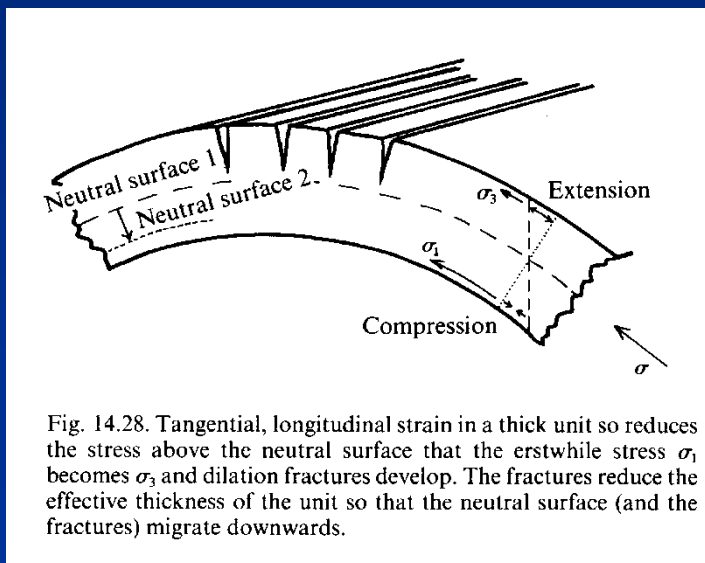
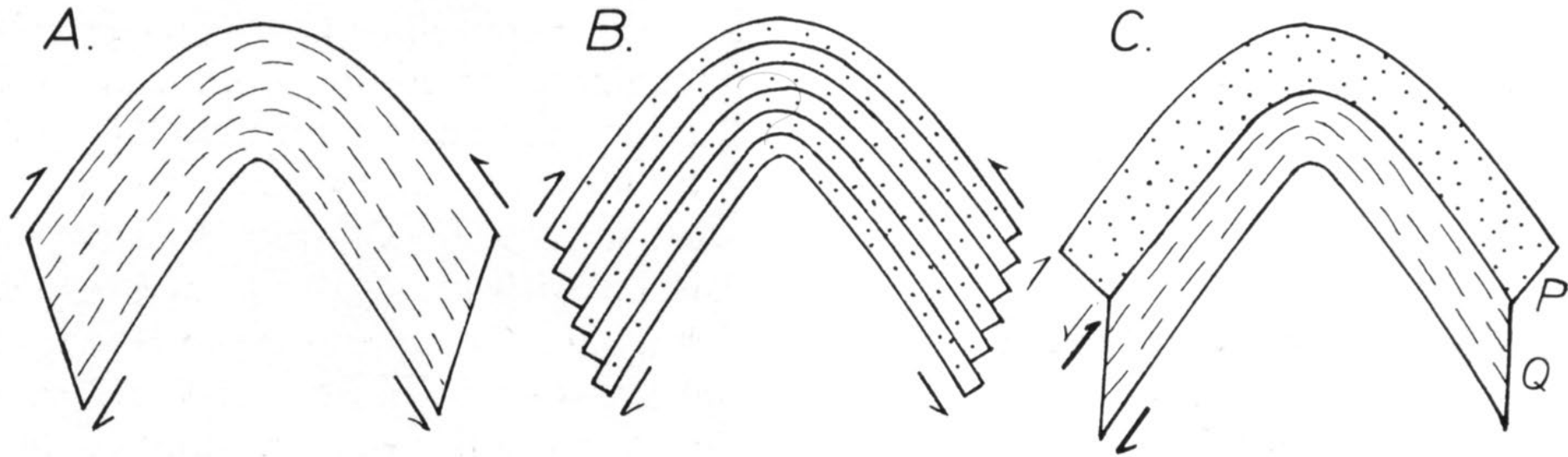


Fig. 14.28. Tangential, longitudinal strain in a thick unit so reduces the stress above the neutral surface that the erstwhile stress σ_1 becomes σ_3 and dilation fractures develop. The fractures reduce the effective thickness of the unit so that the neutral surface (and the fractures) migrate downwards.

Da Price and Cosgrove, 1990



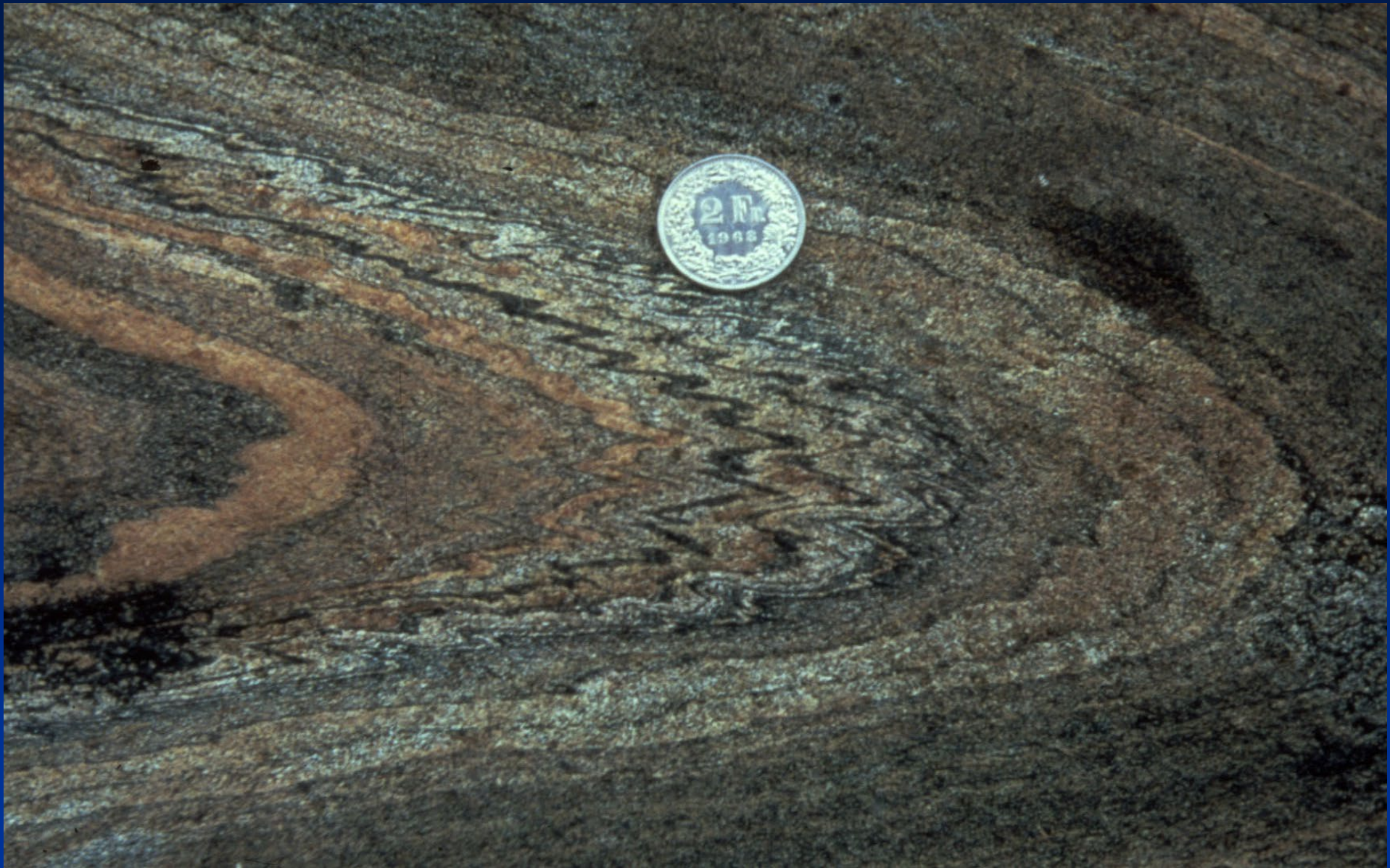
Da Ramsay & Huber, 1987

Flexural flow

Flexural slip

Misto

Pieghe parassite



Pieghe di secondo ordine Pieghe parassite

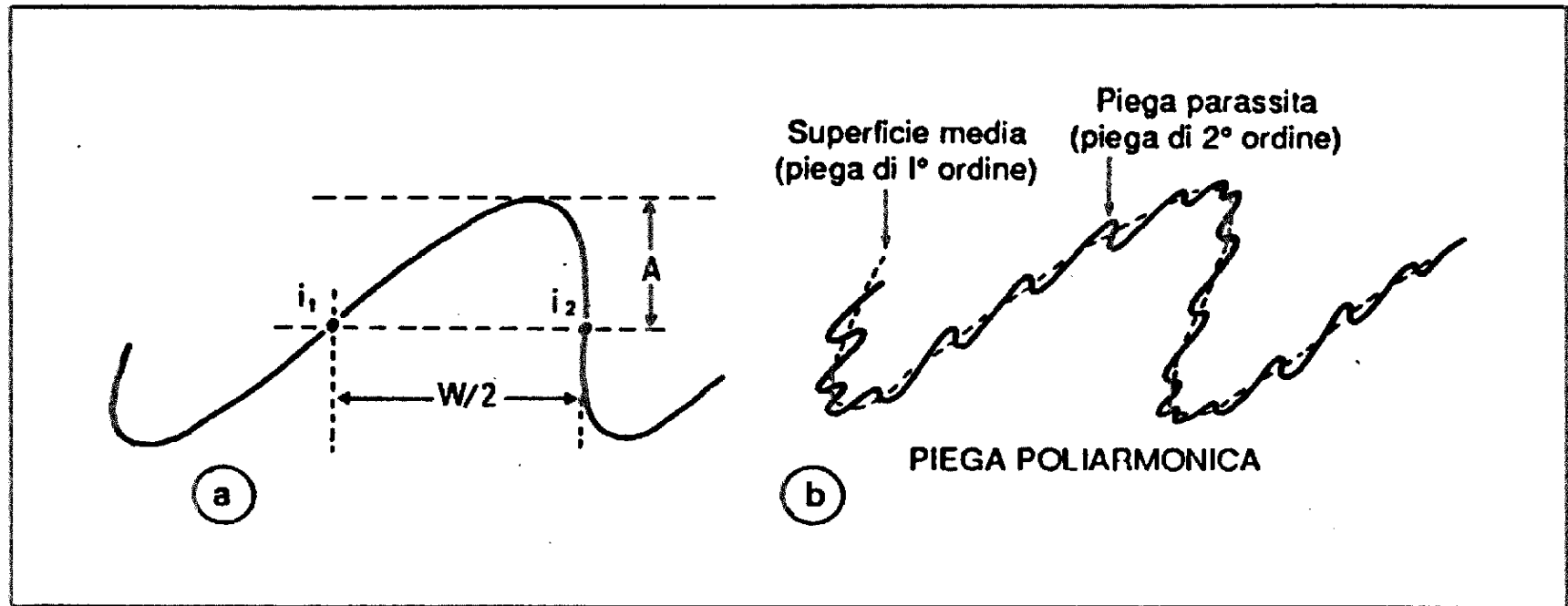
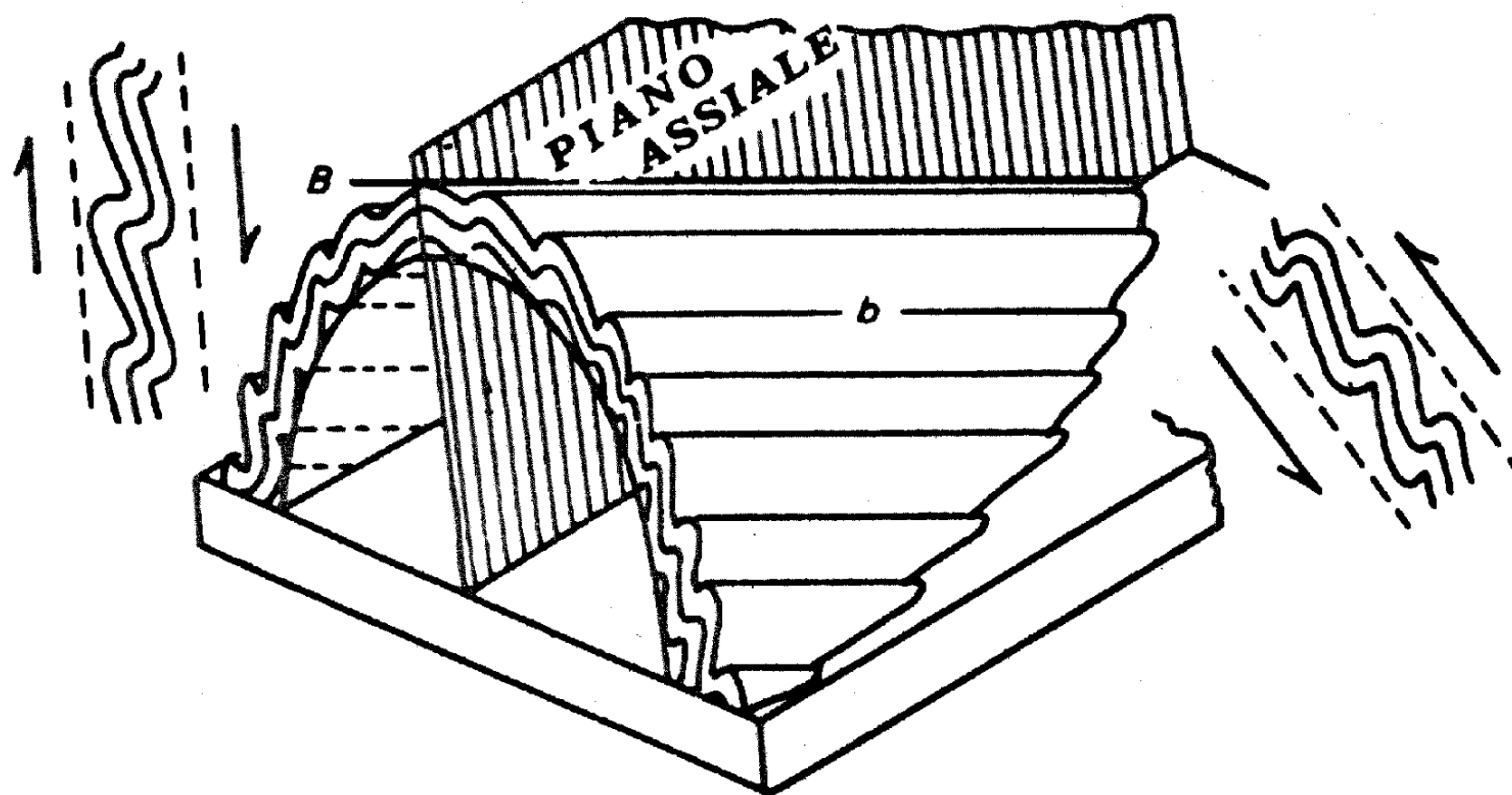
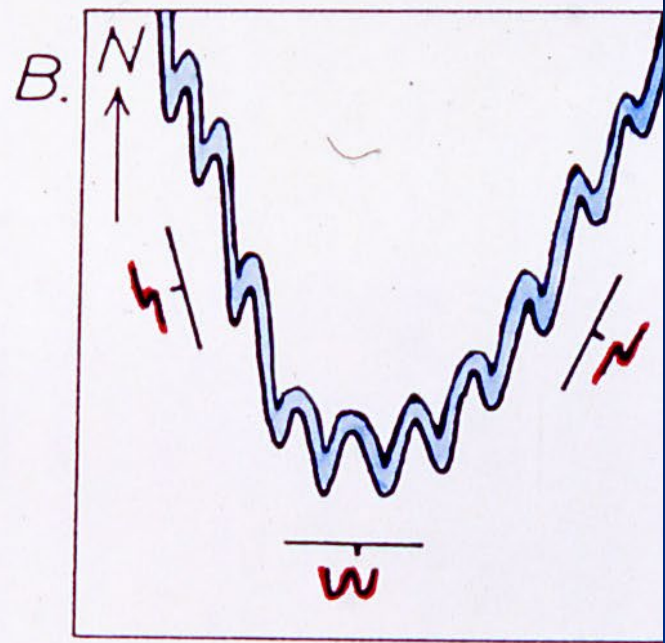
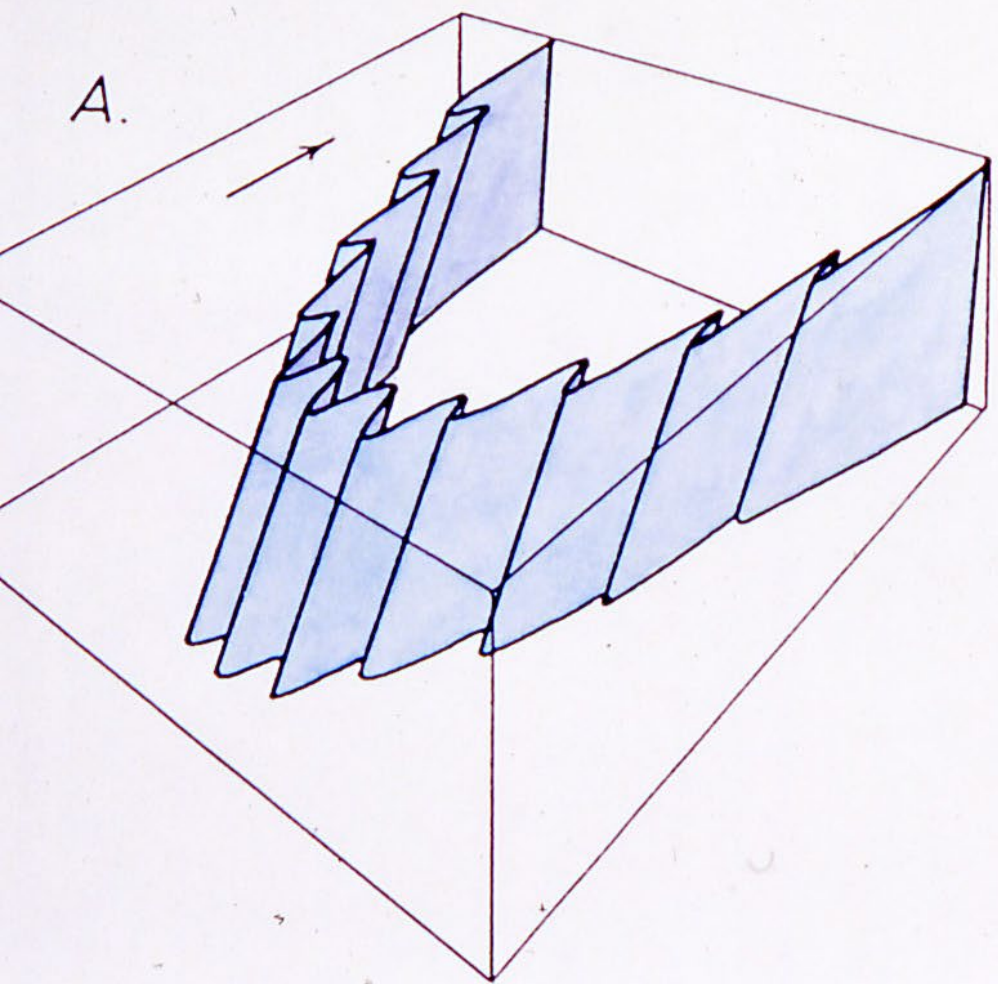


Figura 8.2. a) Ampiezza (A) e semi-lunghezza d'onda ($W/2$) di una piega; b) superficie media e pieghe parassite di una piega poliarmonica.

Da Mercier & Vergely, 1996

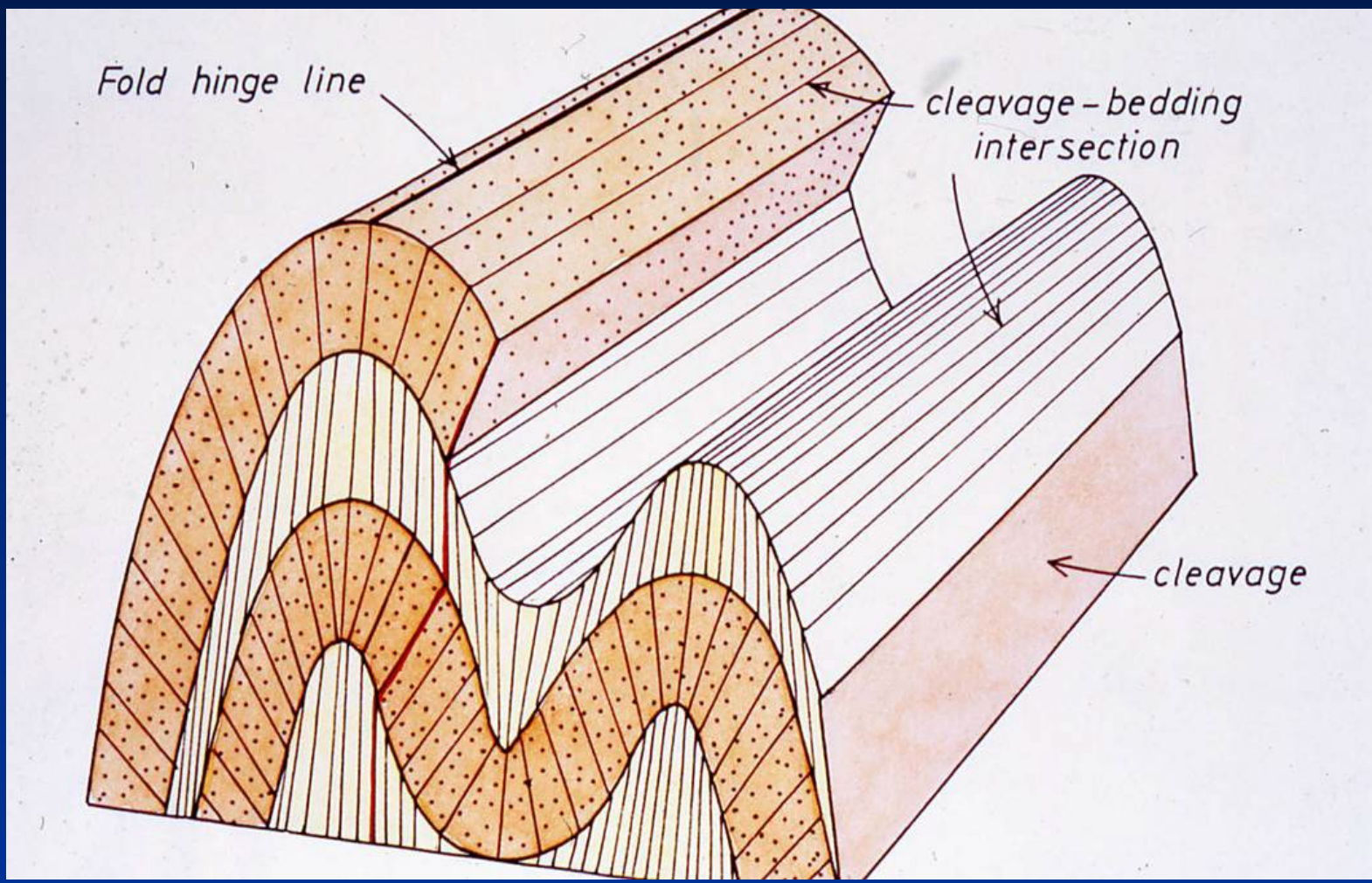


Da Boccaletti & Tortorici, 1987



Da Ramsay & Huber, 1987

Pieghe parassite

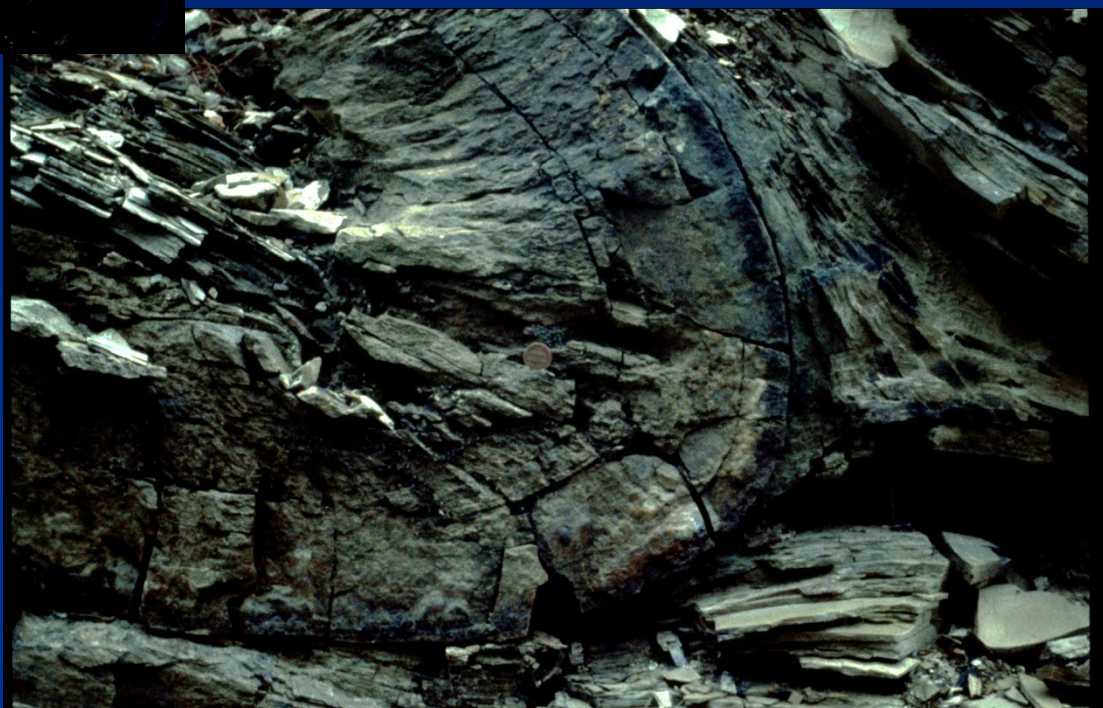


Da Ramsay & Huber, 1987



Da Ramsay & Huber, 1987

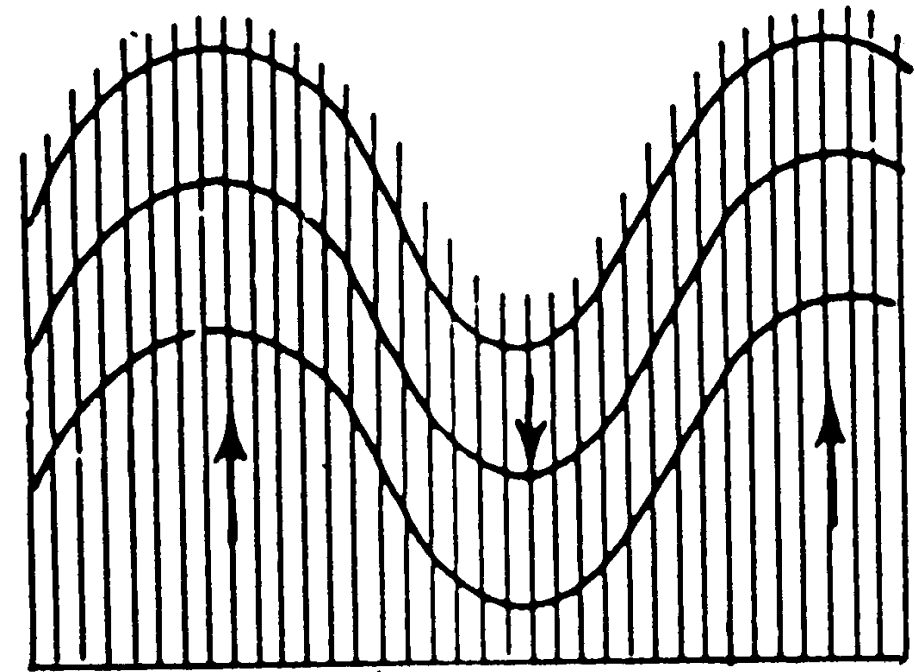
Da Ramsay & Huber, 1987



Foliazione di piano assiale: tipica dei regimi duttili e delle pieghe simili



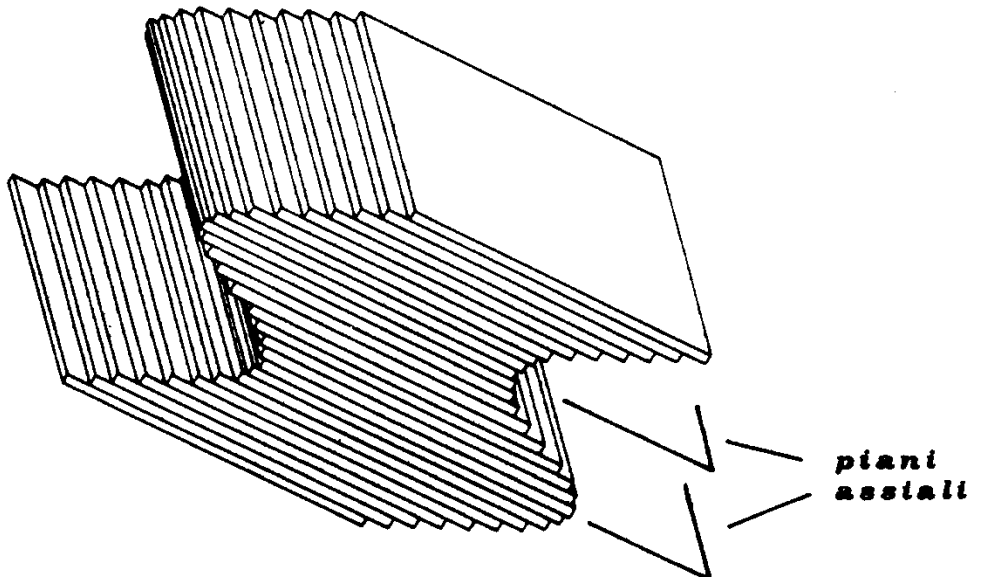
Da Ramsay & Huber, 1987



Pieghe simili

Fig. 68 - Esempio di pieghe simili
(da HILLS, 1963).

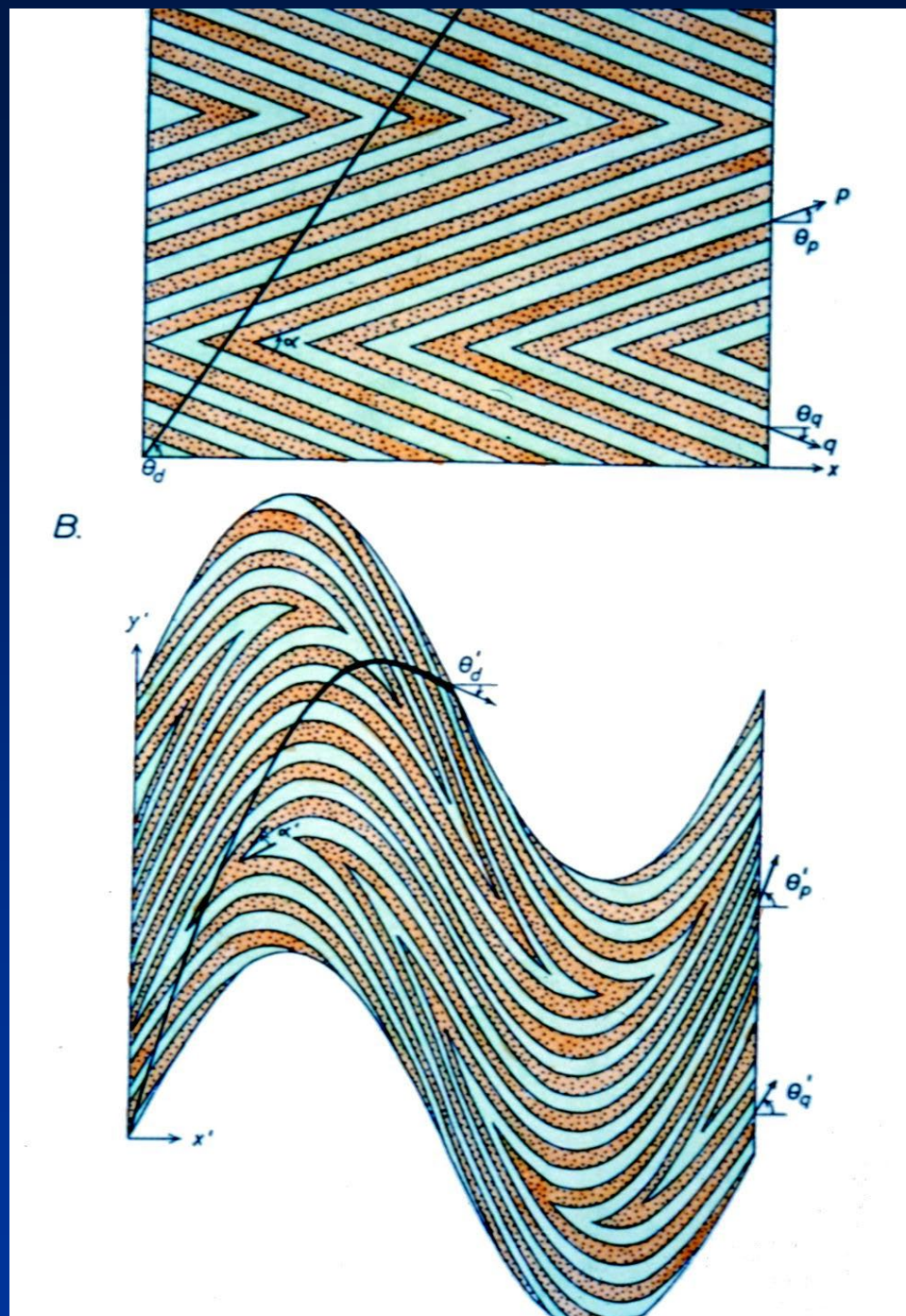
Da Boccaletti & Tortorici, 1987



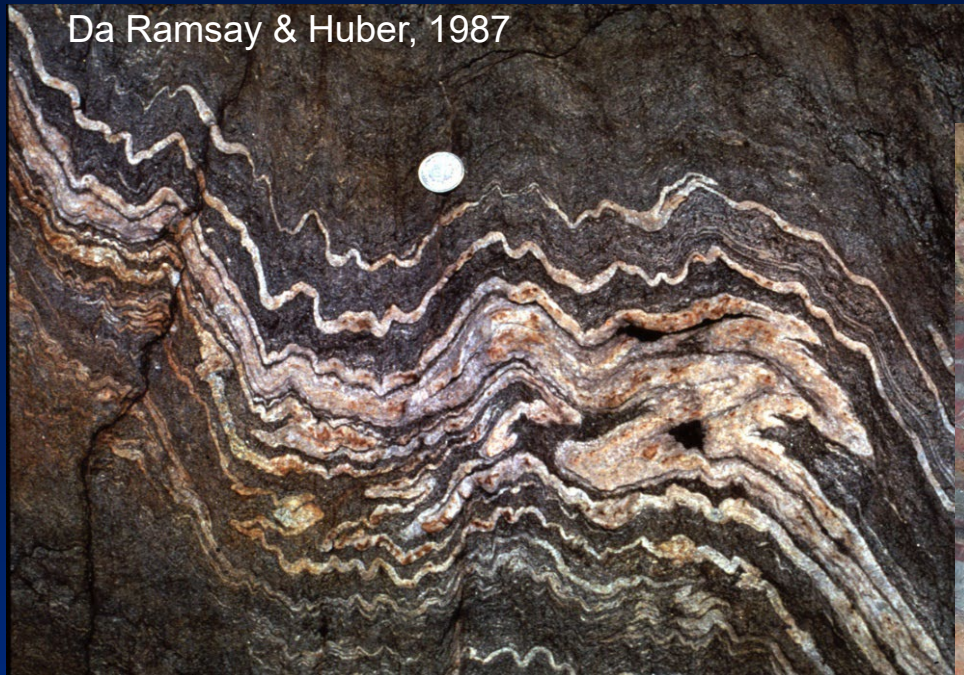
Pieghe ripiegate “strutture di interferenza”



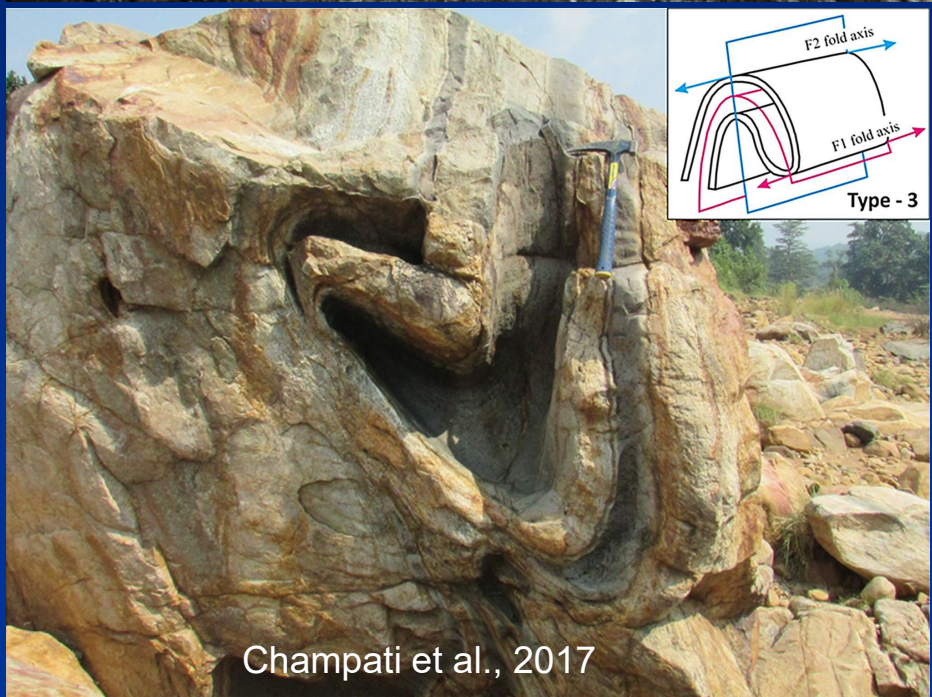
Da Ramsay & Huber, 1987



Da Ramsay & Huber, 1987

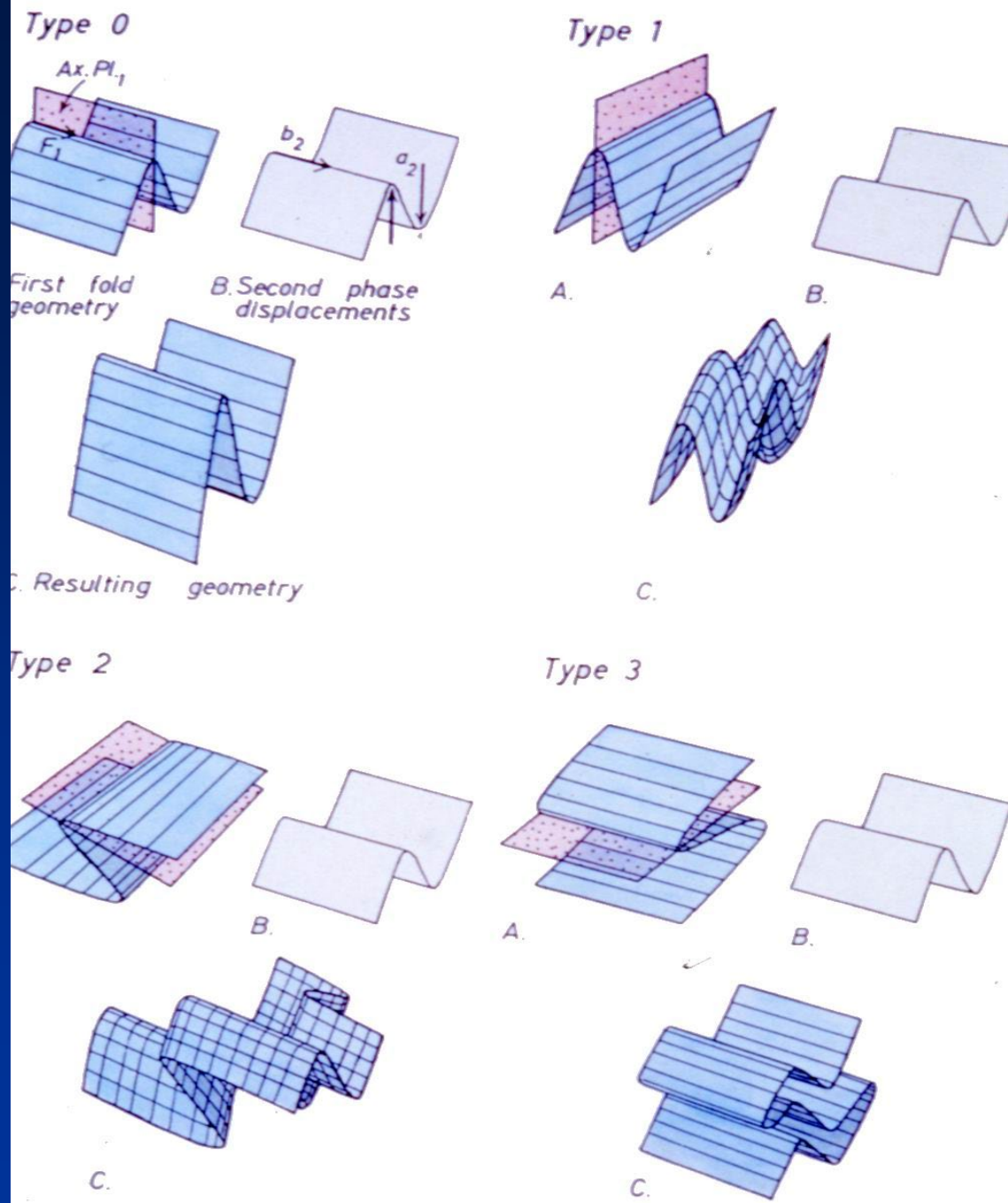


Da Fossen, 2010

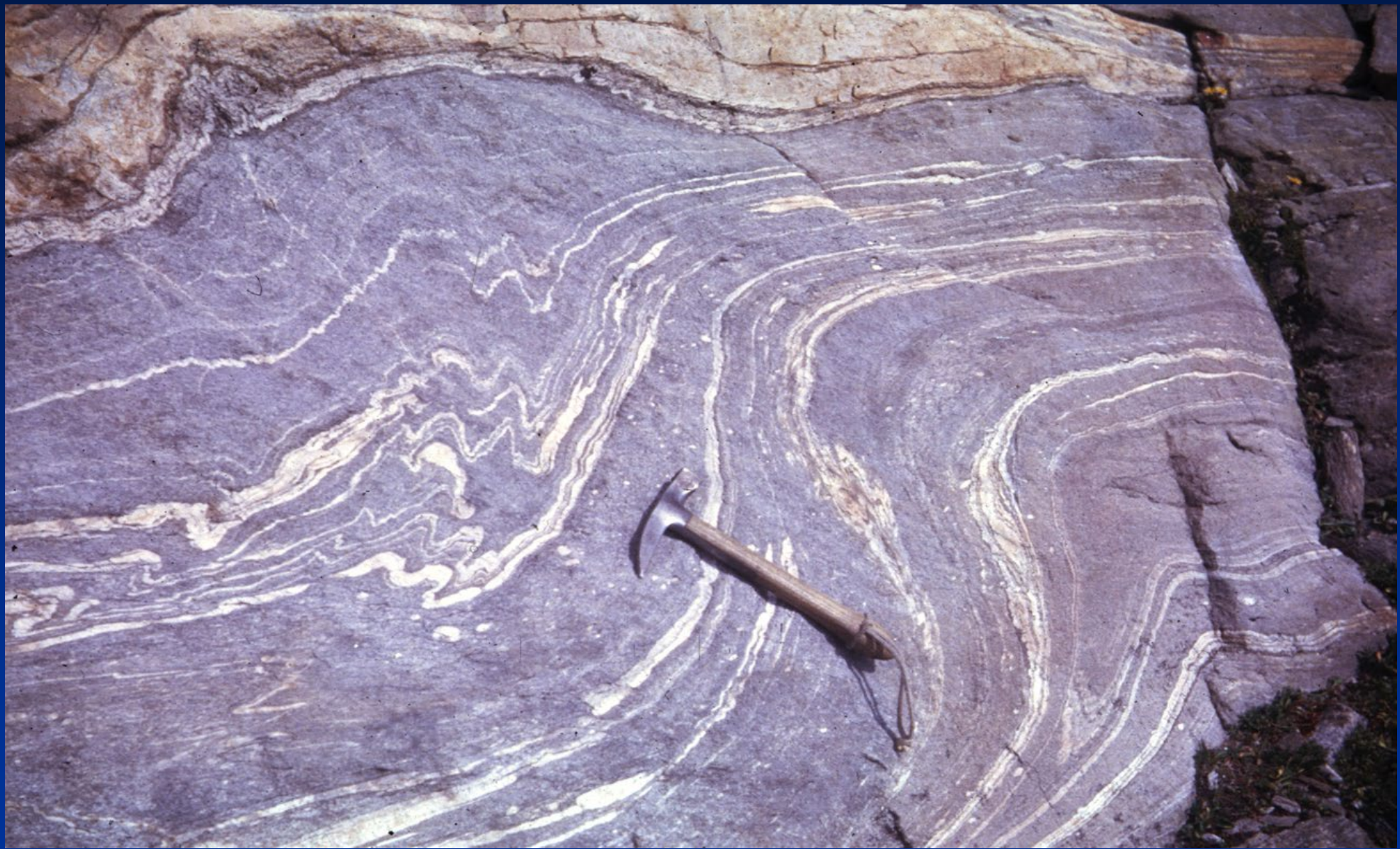


Champati et al., 2017

Pieghe ripiegate “strutture di interferenza”



Da Ramsay & Huber, 1987



Da Ramsay & Huber, 1987

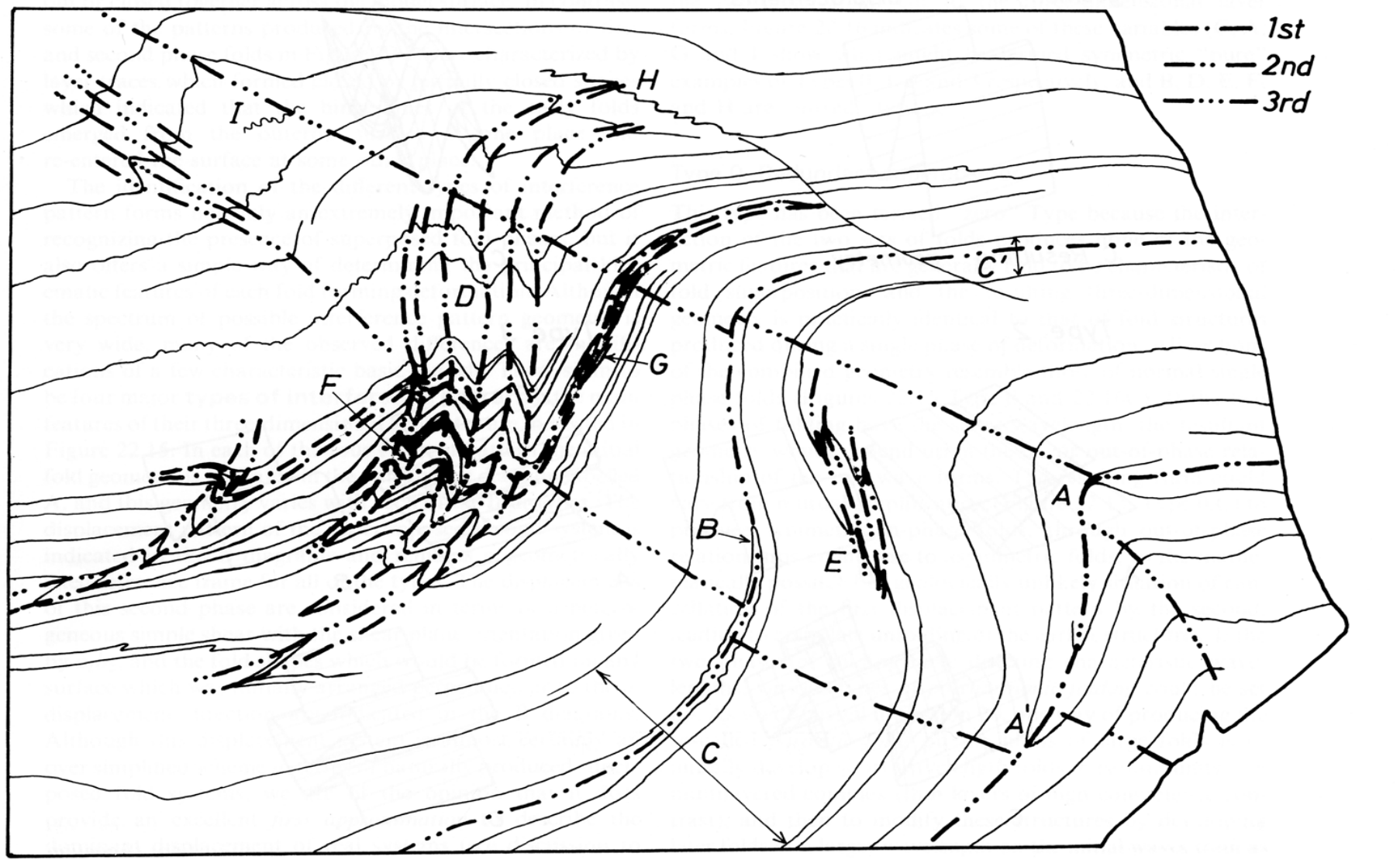


Figure 22.14. Answer 22.4 showing the positions of the axial traces of three sets of folds. For further details see discussion in text.